

本文档的 .md 源文件请见：

<https://github.com/BeiHai0/Surviving-LZU-Physics/tree/master/小班讲义/光学基础1小班讲义>

第0章 随便唠唠

找电子书

zlib

<https://zh.zlibrary-global.se/>

很遗憾，上面的网站被 FBI 干掉了。下面的网站目前还能用：

<https://zh.1lib.sk/?ref=www.tboxn.com>

小心盗版网站！凡要你先交钱后下载的都是盗版网站！

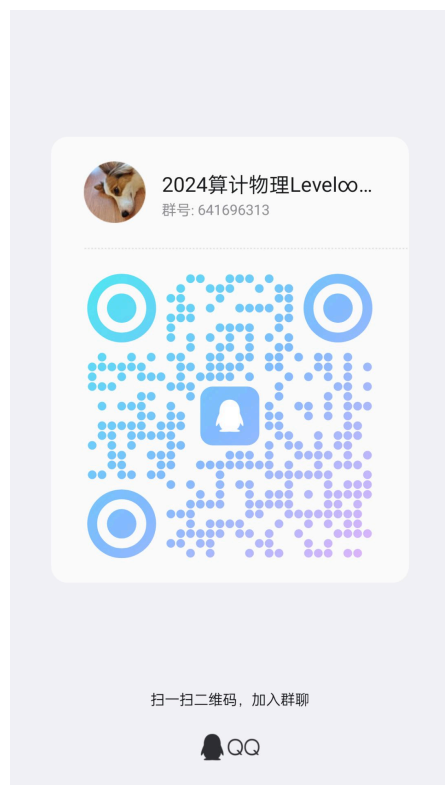
libgen

<https://libgen.is/>

annas

<https://annas-archive.org/>

算计物理群文件



电子笔记

markdown 记笔记

软件 (vscode)

不同软件的 markdown 标准可能不同。如果你想接着我的 md 文件继续写，还是用 vscode 吧！

<https://code.visualstudio.com/>

markdown 基本语法

<https://markdown.com.cn/>

<https://www.markdownguide.org/basic-syntax/>

数学公式

<https://www.cmor-faculty.rice.edu/~heinken/latex/symbols.pdf>

<https://katex.org/docs/supported>

vscode 效率工具——snippets

<https://www.freecodecamp.org/news/definitive-guide-to-snippets-visual-studio-code/>

欢迎关注 my github：

<https://github.com/BeiHai0/Surviving-LZU-Physics>

[README.md](#) 里有自己配置的 snippets 供参考

github——用于备份

<https://github.com/>

廖雪峰老师的 git 教程：

<https://www.liaoxuefeng.com/wiki/896043488029600>

问问题

知乎

Stack Exchange

<https://stackexchange.com/>

英语要好

google

维基百科

小时百科也还行

AI

ChatGPT

Gemini

文心一言之类的

第1章 几何光学

惠更斯原理

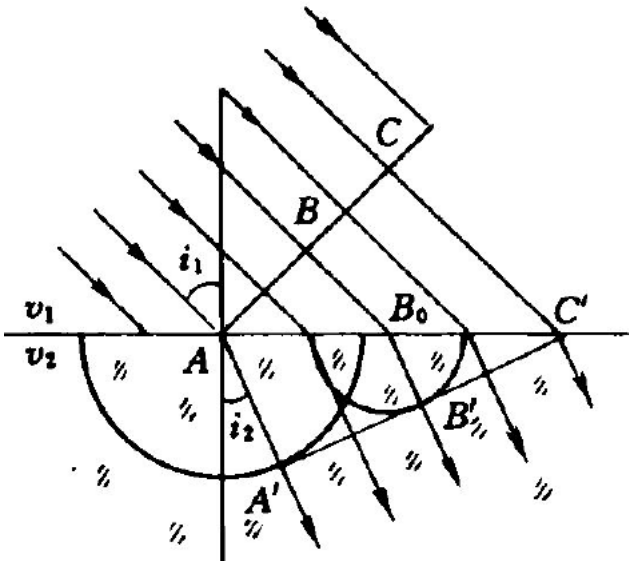
惠更斯原理

光扰动同时到达的空间曲面被称为波面或波前，波前上的每一点可以被看作一个新的扰动中心，称其为子波源或次波源，次波源向四周激发次波；**下一时刻的波前**应当是这些大量次波面的公共切面，也称其为包络面；次波中心与其次波面上的那个切点的连线方向，给出了**该处光传播方向**，亦即光射线方向。

惠更斯原理导出折射定律

$$\frac{\sin i_1}{\sin i_2} = \frac{v_1}{v_2}$$

其中， i_1 与 v_1 对应， i_2 与 v_2 对应



折射率

折射率的定义

介质的折射率，记为 n ，定义为真空中的光速与光在介质中的传播速度之比，即：

$$n \equiv \frac{c}{v}$$

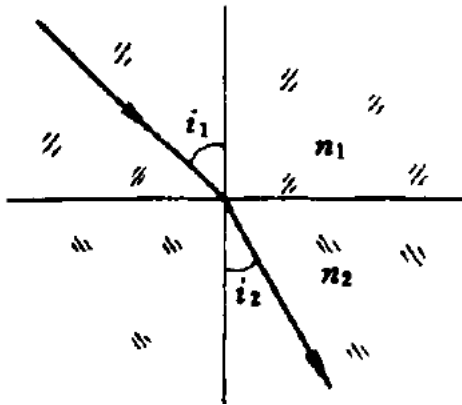
其中， v 是光在介质中的传播速度

显然，真空的折射率为 1；非真空介质的折射率 $n > 1$

折射率表述的折射定律

$$n_1 \sin i_1 = n_2 \sin i_2$$

其中， n_1 与 i_1 对应， n_2 与 i_2 对应



色散

色散的定义

一种介质对不同波长的光具有不同的折射率，这被称作色散

介质中的波长

对于波，其波速 v 时间频率 f 和波长 λ 有如下关系：

$$v = f\lambda$$

在真空中：

$$c = f_0\lambda_0$$

其中， c 是真空中光速， f_0 是真空中光频， λ_0 是真空中光波长

在介质中：

$$v = f\lambda$$

其中， v 是介质中的光速， f 是介质中的光频， λ 是介质中的光波长

两式相除，结合折射率的定义 $n \equiv \frac{c}{v}$ 可得：

$$n = \frac{f_0}{f} \cdot \frac{\lambda_0}{\lambda}$$

特别地，在**线性介质的光场中**，光扰动的**时间频率仅由光源决定，与介质无关**，于是 $f_0 = f$ ，这时得到：

$$n = \frac{\lambda_0}{\lambda}$$

而之前提到，所有非真空介质的折射率 $n > 1$ ，则上式说明**在介质中光波长变短了**（相较于真空中的光波长）。

光程

光程的定义

光程定义为**光线路径的几何长度与所经过的介质折射率的乘积**

设光沿路径 l 从空间中的 P 点传播到 Q 点，光程，记为 $L_l(PQ)$ ，定义为：

$$L_l(PQ) \equiv \int_{\underset{(l)}{P}}^Q n(\vec{r})|\mathrm{d}\vec{r}|$$

光程的离散化表达式：

$$L_l(PQ) \equiv \sum_i n_i l_i$$

其中, n_i 是第 i 小段的折射率, l_i 是第 i 小段的长度

光程与相位差

注意, 这里定点振动的相位按照 $\varphi = \omega t + \varphi_0$ 的方式线性增加

设光沿路径 l 从空间中的 P 点传播到 Q 点。考虑路径 l 上的一点 \vec{r} , 设 t 时刻 \vec{r} 处的波动在 dt 时间后传播到路径上的 $\vec{r} + d\vec{r}$ 处。在无穷小传播过程中, 光可看作沿直线传播, 且这段线元内的介质的折射率是均匀的, 即:

$$\begin{aligned} |d\vec{r}| &= v(\vec{r})dt \\ &= \frac{c}{n(\vec{r})}dt \end{aligned} \quad (0)$$

其中, $n(\vec{r})$ 是 \vec{r} 处介质的折射率。(注意, 这里 $d\vec{r}$ 一定是与 dt 有关的, 从表述可以看出, 是 dt 决定了 $d\vec{r}$)

t 时刻 \vec{r} 处扰动的相位记为 $\varphi(\vec{r}, t)$; 类似地, $t + dt$ 时刻 $\vec{r} + d\vec{r}$ 处扰动的相位记为 $\varphi(\vec{r} + d\vec{r}, t + dt)$

光的传播可以看作定点振动的传播, 自然而然地, 光的传播必定意味着相位信息的传播。**由于 t 时刻 \vec{r} 处的振动在 dt 时间后传播到路径上的 $\vec{r} + d\vec{r}$ 处, 于是 t 时刻 \vec{r} 处的相位信息在 $t + dt$ 时刻传播到了 $\vec{r} + d\vec{r}$ 处, 于是有:**

$$\varphi(\vec{r}, t) = \varphi(\vec{r} + d\vec{r}, t + dt) \quad (1)$$

在 $t \sim t + dt$ 时间内, \vec{r} 处的相位从 $\varphi(\vec{r}, t)$ 线性地增加到 $\varphi(\vec{r}, t) + \omega dt$, 即:

$$\varphi(\vec{r}, t + dt) = \varphi(\vec{r}, t) + \omega dt \quad (2)$$

联立 (1)(2), 消去 $\varphi(\vec{r}, t)$ 得:

$$\varphi(\vec{r} + d\vec{r}, t + dt) - \varphi(\vec{r}, t + dt) = -\omega dt$$

再用前面推导得到的式子消去 dt 得:

$$\varphi(\vec{r} + d\vec{r}, t + dt) - \varphi(\vec{r}, t + dt) = -\omega \frac{n(\vec{r})}{c} |d\vec{r}|$$

在同一时刻 $t + dt$, 对 \vec{r} 从 P 到 Q 沿路径 l 积分得:

$$\begin{aligned} \varphi(\vec{r}_Q, t + dt) - \varphi(\vec{r}_P, t + dt) &= \int_P^Q \left(-\omega \frac{n(\vec{r})}{c} \right) |d\vec{r}| \\ &= \int_P^Q \left(-\frac{2\pi}{T} \frac{n(\vec{r})}{c} \right) |d\vec{r}| \\ &= \int_P^Q \left(-\frac{2\pi}{T_0} \frac{n(\vec{r})}{c} \right) |d\vec{r}| \\ &= -\frac{2\pi}{T_0 c} \int_P^Q n(\vec{r}) |d\vec{r}| \\ &\equiv -\frac{2\pi}{\lambda_0} L_l(PQ) \end{aligned}$$

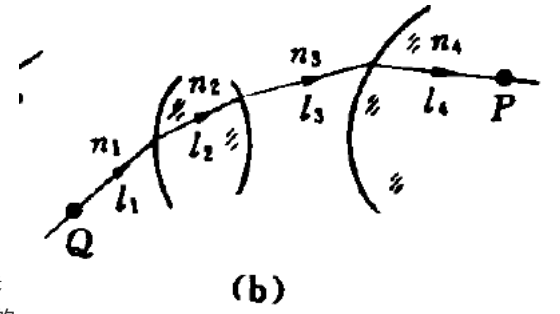
可以看到, 同一时刻 P, Q 两点间的相位差与时间无关, 所有上式可以简写为:

$$\varphi(\vec{r}_Q, t) - \varphi(\vec{r}_P, t) = -\frac{2\pi}{\lambda_0} L_l(PQ)$$

这就是说, 同一时刻空间中同一光线上两点 P, Q 处光振动的相位差由光从 P 出发沿光线 l 到 Q 的光程差决定

光程与时差

设某一振动在 t_P 时刻传播到 P 点, 在 t_Q 时刻传播到 Q 点, 则:



$$\begin{aligned}
 t_Q - t_P &= \sum_i \frac{l_i}{v_i} \\
 &= \sum_i n_i l_i / c \\
 &= \frac{1}{c} \sum_i n_i l_i \\
 &= \frac{L_l(PQ)}{c}
 \end{aligned}$$

反射光束、折射光束的等光程性

反射定律、折射定律给出的反射光束或折射光束的方向，与等光程性的要求一致。人们可以从等光程要求出发，导出反射定律和折射定律。

费马原理

费马原理的表述

光线/沿/光程为平稳值的路径/传播

光程为平稳值有四种情况：极小值、极大值和常数

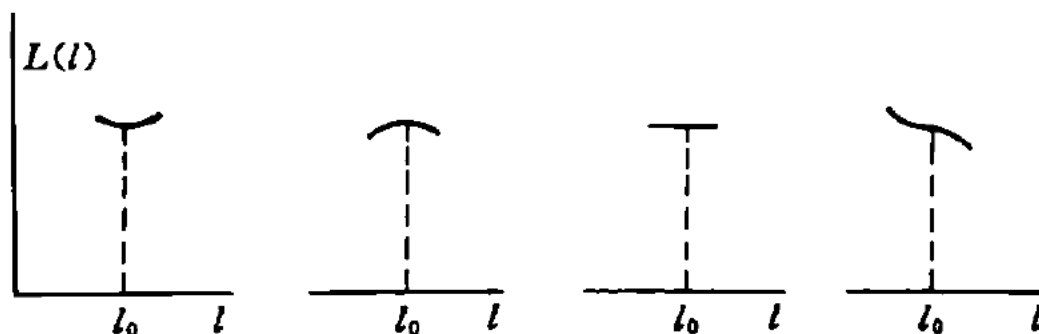


图 1.14 光程为平稳值的典型情形

在 P, Q 确定的情况下，光程 L 仅由路径 l 这一函数决定。光程 L 是泛函，而泛函为平稳值要求其变分为零，于是根据费马原理，光线的真实传播路径应该满足：

$$\delta L[l] = 0$$

其中， δ 是变分算符

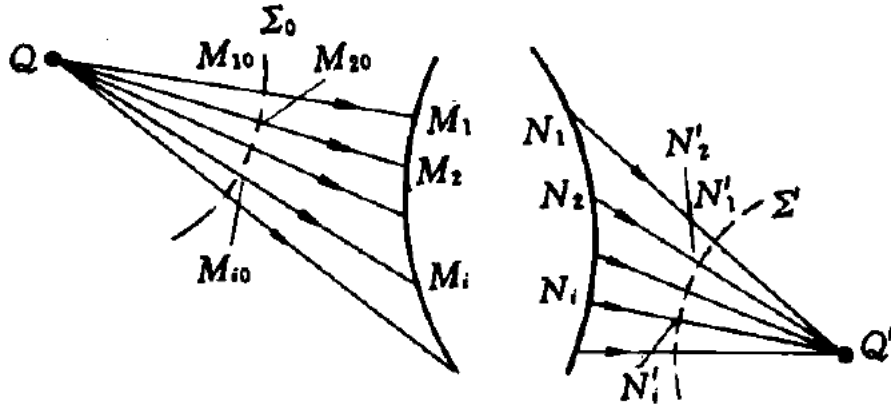
费马原理与成像

物像等光程性

由物点 P 发出一列球面波（或称之为同心光束），经系统变换为另一列球面波或另一个同心光束，则出射同心光束的中心称为像点。

成像过程是一个对同心光束实现共轭变换的过程。

从费马原理出发可以推得：从物点到像点的各光线的光程是彼此相等的。



球面折射傍轴成像公式

$$L(QOQ') = ns + n'x$$

$h^2 \approx 2r\Delta$ 是这么来的:

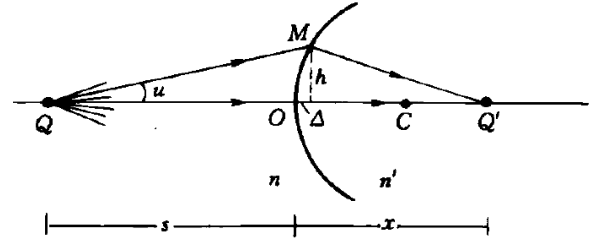
考虑三角形 由 $h, r - \Delta, r$ 构成的直角三角形, 勾股定理给出:

$$h^2 + (r - \Delta)^2 = r^2 \implies h^2 - 2r\Delta + \Delta^2 = 0$$

Δ 是小量, Δ^2 是二阶小量, 约去二阶小量得:

$$h^2 \approx 2r\Delta$$

$$\begin{aligned} L(QMQ') &= n\sqrt{(s + \Delta)^2 + h^2} + n'\sqrt{(x - \Delta)^2 + h^2} \\ &= n\sqrt{s^2 + h^2 + 2s\Delta + \Delta^2} + n'\sqrt{x^2 + h^2 - 2x\Delta + \Delta^2} \\ &\approx n\sqrt{s^2 + h^2 + 2s\Delta} + n'\sqrt{x^2 + h^2 - 2x\Delta} \\ (\text{ps: } h^2 \approx 2r\Delta) &= n\sqrt{s^2 + (2r + 2s)\Delta} + n'\sqrt{x^2 + (2r - 2x)\Delta} \\ &= ns\sqrt{1 + \frac{(2r + 2s)\Delta}{s^2}} + n'x\sqrt{1 + \frac{(2r - 2x)\Delta}{x^2}} \\ &\approx ns\left(1 + \frac{(r + s)\Delta}{s^2}\right) + n'x\left(1 + \frac{(r - x)\Delta}{x^2}\right) \\ &= ns + n'x + \left[\frac{(r + s)}{s}n + \frac{(r - x)}{x}n'\right]\Delta \end{aligned}$$



光程差:

$$\begin{aligned} \Delta L &\equiv L(QMQ') - L(QOQ') \\ &\approx \left[\frac{(r + s)}{s}n + \frac{(r - x)}{x}n'\right]\Delta \end{aligned}$$

当 Δ 前的系数为零, 可近似认为满足物像等光程, 此时可近似成像, 并且得到球面折射傍轴成像公式:

$$\frac{(r + s)}{s}n + \frac{(r - x)}{x}n' = 0$$

或者改写为:

$$\frac{n}{s} + \frac{n'}{x} = \frac{n' - n}{r}$$

这里, s 是物距, x 是像距, r 是球面半径

若把像距记为 s' , 则球面折射傍轴成像公式为:

$$\frac{n}{s} + \frac{n'}{s'} = \frac{n' - n}{r}$$

光线方程

折射率分层均匀的情形

考虑折射率只与 y 有关，而与 x 无关的情况， $n = n(y)$

由折射定律，得：

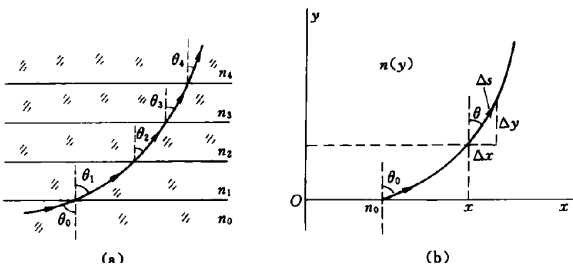
$$n_0 \sin \theta_0 = n_1 \sin \theta_1 = \cdots n \sin \theta = \cdots$$

几何关系：

$$(ds)^2 = (dx)^2 + (dy)^2 \implies \left(\frac{ds}{dx}\right)^2 = 1 + \left(\frac{dy}{dx}\right)^2$$

$$\frac{ds}{dx} = \frac{1}{\sin \theta}$$

$$\begin{cases} n_0 \sin \theta_0 = n \sin \theta \\ \left(\frac{ds}{dx}\right)^2 = 1 + \left(\frac{dy}{dx}\right)^2 \implies \frac{dy}{dx} = \sqrt{\frac{n^2(y)}{n_0^2 \sin^2 \theta_0} - 1} \\ \frac{ds}{dx} = \frac{1}{\sin \theta} \end{cases}$$



第1章 习题选解

1.7

1.8

期末考题

光在各向同性介质中的传播规律

麦克斯韦方程组

微分形式

$$\begin{cases} \nabla \cdot \vec{B} = 0 \\ \nabla \cdot \vec{D} = \rho \\ \nabla \times \vec{E} = -\frac{\partial \vec{B}}{\partial t} \\ \nabla \times \vec{H} = \vec{j} + \frac{\partial \vec{D}}{\partial t} \end{cases}$$

积分形式

$$\begin{cases} \oint\oint_{\partial V} \vec{B} \cdot d\vec{S} = 0 \\ \oint\oint_{\partial V} \vec{D} \cdot d\vec{S} = Q \\ \oint_{\partial S} \vec{E} \cdot d\vec{l} = - \iint_S \frac{\partial \vec{B}}{\partial t} \cdot d\vec{S} \\ \oint_{\partial S} \vec{H} \cdot d\vec{l} = I + \iint_S \frac{\partial \vec{D}}{\partial t} \cdot d\vec{S} \end{cases}$$

光的电磁性质

(1) 光扰动是一种电磁扰动。光扰动随时间变化和在空间的分布遵从麦克斯韦方程组：

$$\begin{cases} \nabla \cdot \vec{B} = 0 \\ \nabla \cdot \vec{D} = \rho \\ \nabla \times \vec{E} = -\frac{\partial \vec{B}}{\partial t} \\ \nabla \times \vec{H} = \vec{j} + \frac{\partial \vec{D}}{\partial t} \end{cases}$$

其中, $\vec{D} \equiv \epsilon_0 \vec{E} + \vec{P}$, $\vec{H} \equiv \frac{\vec{B}}{\mu_0} - \vec{M}$; \vec{P} 是电位移矢量, \vec{M} 是磁化强度, ρ 是自由电荷体密度, \vec{j} 是传导电流

若光在各向同性线性非铁磁介质中传播, 则有：

$$\vec{P} = \chi_e \epsilon_0 \vec{E}, \quad \vec{M} = \chi_M \vec{H}$$

(2) 光波是一种电磁波

由矢量分析可得, 光在各向同性线性非铁磁介质中传播时, \vec{E}, \vec{H} 满足波动方程：

$$\begin{aligned} \nabla^2 \vec{E} - \epsilon \mu \frac{\partial^2 \vec{E}}{\partial t^2} &= 0 \\ \nabla^2 \vec{H} - \epsilon \mu \frac{\partial^2 \vec{H}}{\partial t^2} &= 0 \end{aligned}$$

其中, ϵ 是介质的电容率 (或介电常数) , μ 是介质的磁导率

从中可知, 光在介质中的传播速度 v 为：

$$v = \frac{1}{\sqrt{\epsilon \mu}} = \frac{1}{\sqrt{\epsilon_r \epsilon_0 \mu \mu_0}}$$

其中, $\epsilon = \epsilon_r \epsilon_0, \mu = \mu_r \mu_0$, ϵ_r 是相对电容率 (或相对介电常数) , μ_r 是相对磁导率。

特别地, 在真空中, $\epsilon_r = 1, \mu_r = 1$, 于是得到真空中的光速 c ：

$$c = \frac{1}{\sqrt{\epsilon_0 \mu_0}}$$

在后面我们会定义某种介质的折射率 n ：

$$n \equiv \frac{c}{v}$$

可得：

$$n \equiv \frac{c}{v} = \sqrt{\epsilon_r \mu_r}$$

(3) 平面电磁波是自由空间电磁波的一基元成分

可以验证, 平面电磁波函数：

$$\begin{aligned} \vec{E}(\vec{r}, t) &= \vec{E}_0 \cos(\omega t - \vec{k} \cdot \vec{r} + \varphi_E) \\ \vec{H}(\vec{r}, t) &= \vec{H}_0 \cos(\omega t - \vec{k} \cdot \vec{r} + \varphi_H) \end{aligned}$$

满足波动方程。其中, \vec{k} 称为波矢, 其方向与波的传播方向一致, 也与平面等相面正交, 其大小 k 与波长 (或称为空间周期) 的关系为：

$$k = \frac{2\pi}{\lambda}$$

(4) 光是横波

$$\vec{E} \perp \vec{k}, \quad \vec{H} \perp \vec{k}$$

(5) 电场与磁场之间具有正交性和同步性

振荡着的电场与磁场，彼此在方向上是时时正交的， $\vec{E}, \vec{H}, \vec{k}$ 三者方向构成一个右手螺旋，即：

$$(\vec{E} \times \vec{H}) \parallel \vec{k}$$

(6) 电磁波能流密度——坡印廷矢量

电磁波能流密度矢量：

$$\vec{S}(\vec{r}, t) = \vec{E}(\vec{r}, t) \times \vec{H}(\vec{r}, t)$$

称为坡印廷矢量

光强

对于光波，平均能流密度为：

$$\begin{aligned}\bar{S} &= \frac{1}{T} \int_0^T |\vec{E} \times \vec{H}| dt \\ &= \frac{1}{2} \sqrt{\frac{\epsilon_r \epsilon_0}{\mu_r \mu_0}} E_0^2\end{aligned}$$

在光频段， $\mu_r \approx 1$ ，于是 $n \equiv \sqrt{\epsilon_r \mu_r} \approx \sqrt{\epsilon_r}$ ，于是：

$$\begin{aligned}\bar{S} &= \frac{1}{2} \sqrt{\frac{\epsilon_r \epsilon_0}{\mu_r \mu_0}} E_0^2 \\ &\approx \frac{1}{2} \sqrt{\frac{\epsilon_0}{\mu_0}} n E_0^2 \\ &\propto n E_0^2\end{aligned}$$

光强，记为 I ，定义为：

$$I \equiv n E_0^2$$

可见，光强度量的是平均电磁能流密度，但和平均电磁能流密度差一个系数

定态波场

- (1) 空间各点的扰动是同频率的振动
- (2) 波场中各点扰动的振幅不随时间变化

定态光波的标量表示

\vec{E} 在直角坐标系下的三个分量遵从同一形式的波动方程，这就允许我们用标量 U 来代表 E_x, E_y, E_z 中的任何一个量，它们都遵从如下的波动方程：

$$\nabla^2 U - \frac{1}{v^2} \frac{\partial^2 U}{\partial t^2} = 0$$

U 可以理解为 E_x, E_y, E_z 中的任何一个

对于某一确定场点 \vec{r} 上的定态光扰动 $E_i(\vec{r}, t), (i = x, y, z)$ ，其是关于时间的周期函数，在满足狄利克雷条件的情况下，此光扰动可以展开为余弦傅里叶级数，于是我们可以选取余弦函数作为定态光波的基元，定态光波可由无数不同频率的余弦波线性组合而成。这种选定的基元成分的一般形式为：

$$U(P, t) = A(P) \cos(\omega t + \varphi(P))$$

其中， $A(P)$ 是振幅， $\varphi(P)$ 是初相位

波函数的复数表示

简谐波函数的实数形式：

$$U(P, t) = A(P) \cos(\omega t + \varphi(P))$$

其中， $\varphi(P)$ 是场点 P 处光扰动的初相位

复数形式：

$$\tilde{U}(P, t) = A(P)e^{-i(\omega t + \varphi(P))}$$

由欧拉公式 $e^{i\theta} = \cos \theta + i \sin \theta$, 可得二者的关系为:

$$\Re\{\tilde{U}(P, t)\} = U(P, t)$$

其中, $\Re\{\cdot\}$ 表示“取实部”操作

比如:

$$\Re\{1 + 2i\} = 1$$

平面简谐波

$$U(\vec{r}, t) = A \cos(\omega t - \vec{k} \cdot \vec{r} + \varphi_0)$$

其中, A 是平面波的振幅; \vec{r} 是坐标原点指向场点的位矢; \vec{k} 是平面波的波矢, 其方向与平面波的传播方向同向平行, 大小为 $k = \frac{2\pi}{\lambda}$; φ_0 是坐标原点的初相位, 也就是坐标原点在 $t = 0$ 时刻的相位;

$$\tilde{U}(\vec{r}, t) = Ae^{i(\vec{k} \cdot \vec{r} - \omega t - \varphi_0)}$$

发散球面简谐波

$$U(\vec{r}, t) = \frac{a_1}{r} \cos(\omega t - kr + \varphi_0)$$

其中, r 是点源到场点 \vec{r} 的距离; φ_0 是点源的初相位

$$\tilde{U}(\vec{r}, t) = \frac{a_1}{r} e^{i(kr - \omega t - \varphi_0)}$$

柱面简谐波

$$U(r, t) = \frac{b_1}{\sqrt{r}} \cos(\omega t - kr + \varphi_0)$$

$$\tilde{U}(r, t) = \frac{b_1}{\sqrt{r}} e^{i(kr - \omega t - \varphi_0)}$$

复振幅

设 $U(P, t) = A(P) \cos(\omega t + \varphi(P))$, 其中, $\varphi(P)$ 是 P 点的初相位, 则 P 点的复振幅, 记为 $\tilde{U}(P)$, 定义为:

$$\tilde{U}(P) \equiv A(P)e^{-i\varphi(P)}$$

复振幅与时间无关, 其关注的是光扰动在空间中的分布规律。

平面简谐波复振幅

$$U(\vec{r}, t) = A \cos(\omega t - \vec{k} \cdot \vec{r} + \varphi_0)$$

$$\varphi(\vec{r}) = -\vec{k} \cdot \vec{r} + \varphi_0$$

$$\begin{aligned} \tilde{U}(\vec{r}) &\equiv A(\vec{r})e^{-i\varphi(\vec{r})} \\ &= Ae^{-i(-\vec{k} \cdot \vec{r} + \varphi_0)} \\ &= Ae^{i(\vec{k} \cdot \vec{r} - \varphi_0)} \end{aligned}$$

球面发散简谐波复振幅

$$U(\vec{r}, t) = \frac{a_1}{r} \cos(\omega t - kr + \varphi_0)$$

$$\varphi(\vec{r}) = -kr + \varphi_0$$

$$\begin{aligned} \tilde{U}(\vec{r}) &\equiv A(\vec{r})e^{-i\varphi(\vec{r})} \\ &= \frac{a_1}{r} e^{-i(-kr + \varphi_0)} \\ &= \frac{a_1}{r} e^{i(kr - \varphi_0)} \end{aligned}$$

柱面简谐波复振幅

$$U(r,t)=\frac{b_1}{\sqrt{r}}\cos(\omega t-kr+\varphi_0)$$
$$\varphi(\vec{r})=-kr+\varphi_0$$
$$\begin{aligned}\tilde{U}(\vec{r}) &\equiv A(\vec{r})e^{-\mathrm{i}\varphi(\vec{r})}\\ &= \frac{b_1}{\sqrt{r}}e^{-\mathrm{i}(-kr+\varphi_0)}\\ &= \frac{b_1}{\sqrt{r}}e^{\mathrm{i}(kr-\varphi_0)}\end{aligned}$$

波前函数

观察平面上某点的复振幅称为波前函数。

一般用 $z = \text{const}$ 来表示这个观察平面。由于 z 坐标是个常数，于是波前函数只是观察平面上的两个直角坐标分量 x,y 的函数，用 $\tilde{U}(x,y)$ 来表示（波前函数）。

球面波向平面波的转化

傍轴条件（振幅条件）—— $z^2 \gg \rho^2$

源面 $x_0 - y_0$ 平面上有一点源 (x_0,y_0) 发射球面波，场面 $x - y$ 平面距源面的距离为 z ，则场面上 (x,y) 场点的波前函数精确表达是：

$$\begin{aligned}\tilde{U}(x,y) &\equiv \frac{a_1}{r}e^{\mathrm{i}(kr-\varphi_0)}\\ &= \frac{a_1}{\sqrt{(x-x_0)^2+(y-y_0)^2+z^2}}e^{\mathrm{i}(k\sqrt{(x-x_0)^2+(y-y_0)^2+z^2}-\varphi_0)}\end{aligned}$$

傍轴条件下，波前函数的近似表达是：

$$\begin{aligned}\tilde{U}(x,y) &\approx \frac{a_1}{z}e^{\mathrm{i}(kz+k\frac{(x-x_0)^2+(y-y_0)^2}{2z}-\varphi_0)}\\ &= \frac{a_1}{z}e^{\mathrm{i}kz} \cdot e^{\mathrm{i}k\frac{(x-x_0)^2+(y-y_0)^2}{2z}} \cdot e^{-\mathrm{i}\varphi_0}\end{aligned}$$

远场条件（相位条件）—— $z\lambda \gg \rho^2$

做题的话，远场条件可认为是 $z\lambda \approx 50\rho^2$

源面 $x_0 - y_0$ 平面上有一点源 (x_0,y_0) 发射球面波，场面 $x - y$ 平面距源面的距离为 z ，则场面上 (x,y) 场点的波前函数精确表达是：

$$\begin{aligned}\tilde{U}(x,y) &\equiv \frac{a_1}{r}e^{\mathrm{i}(kr-\varphi_0)}\\ &= \frac{a_1}{\sqrt{(x-x_0)^2+(y-y_0)^2+z^2}}e^{\mathrm{i}(k\sqrt{(x-x_0)^2+(y-y_0)^2+z^2}-\varphi_0)}\end{aligned}$$

仅远场条件下，波前函数的近似表达是：

$$\tilde{U}(x,y) \approx \frac{a_1}{z+\frac{x^2+y^2}{2z}}e^{\mathrm{i}kz} \cdot e^{-\mathrm{i}\varphi_0}$$

对于光波，远场条件更加苛刻。若满足了远场条件，则傍轴条件也必定满足。

于是对于光波，波前函数可进一步近似为：

$$\tilde{U}(x,y) \approx \frac{a_1}{z}e^{\mathrm{i}kz} \cdot e^{-\mathrm{i}\varphi_0}$$

由此可见，对于光波，在远场条件下，球面波可近似为平面波。

波叠加原理

在通常介质与通常光强条件下，波叠加原理成立，即总扰动等于各分扰动的叠加。

波叠加的两种情况

在波叠加原理成立的情况下，考察交叠区中的光强分布，存在两种情况：

非相干叠加

在观测时间中，总光强是各分光强的直接相加：

$$I(P) = I_1(P) + I_2(P)$$

相干叠加

在观测时间中，总光强**不等于**各分光强的直接相加：

$$I(P) = I_1(P) + I_2(P) + \Delta I(P)$$

光波叠加的相干条件

- (1) 光振动方向一致或有方向一致的平行振动分量。
- (2) 两列波的频率相同。

证明：

设交叠区中场点 P 处的两个扰动的实值表示分别为：

$$U_1(P, t) = A_1 \cos(\omega_1 t + \varphi_1(P))$$

$$U_2(P, t) = A_2 \cos(\omega_2 t + \varphi_2(P))$$

总扰动 $U(P, t)$ 遵从波叠加原理：

$$U(P, t) = U_1(P, t) + U_2(P, t)$$

在光的矢量理论中，光强正比于平均电磁能流密度。这里我们讨论的是光的标量理论，用标量 U 代表电场 \vec{E} 在直角坐标系下的任一分量。

类比矢量理论，可定义标量理论中的“光强”：

$$I(P) \equiv \langle U^2(P, t) \rangle \equiv \frac{1}{T} \int_0^T U^2(P, t) dt$$

其中， T 是观察时间， $\langle \cdot \rangle$ 表示对尖括号内的物理量取观察时间的平均值。

基于此，总扰动的“光强”为：

$$\begin{aligned} I(P) &\equiv \langle U^2(P, t) \rangle \\ &= \left\langle \left(U_1(P, t) + U_2(P, t) \right)^2 \right\rangle \\ &= \langle U_1^2(P, t) + U_2^2(P, t) + 2U_1(P, t)U_2(P, t) \rangle \\ &= \langle U_1^2(P, t) \rangle + \langle U_2^2(P, t) \rangle + 2 \langle U_1(P, t)U_2(P, t) \rangle \\ &= I_1(P) + I_2(P) + 2 \langle U_1(P, t)U_2(P, t) \rangle \end{aligned}$$

观察交叉项：

$$\begin{aligned} \Delta I(P) &\equiv 2 \langle U_1(P, t)U_2(P, t) \rangle \\ &= 2 \langle A_1 A_2 \cos(\omega_1 t + \varphi_1) \cos(\omega_2 t + \varphi_2) \rangle \\ &= A_1 A_2 \langle \cos[(\omega_1 + \omega_2)t + \varphi_1 + \varphi_2] \rangle + A_1 A_2 \langle \cos[(\omega_1 - \omega_2)t + (\varphi_1 - \varphi_2)] \rangle \end{aligned}$$

注意到，光的频率很大，时间周期很短，因此在相对很长的观察时间 T 内，有：

$$\langle \cos[(\omega_1 + \omega_2)t + \varphi_1 + \varphi_2] \rangle \approx 0$$

于是进一步有：

$$\begin{aligned} \Delta I(P) &= A_1 A_2 \langle \cos[(\omega_1 + \omega_2)t + \varphi_1 + \varphi_2] \rangle + A_1 A_2 \langle \cos[(\omega_1 - \omega_2)t + (\varphi_1 - \varphi_2)] \rangle \\ &\approx A_1 A_2 \langle \cos[(\omega_1 - \omega_2)t + (\varphi_1 - \varphi_2)] \rangle \end{aligned}$$

当 $\omega_1 \neq \omega_2$ ，且 ω_1 和 ω_2 相差不太小时，同样有：

$$\langle \cos[(\omega_1 - \omega_2)t + (\varphi_1 - \varphi_2)] \rangle \approx 0$$

此时，

$$\Delta I(P) \approx 0$$

也就是说，当 $\omega_1 \neq \omega_2$ ，且 ω_1 和 ω_2 相差不太小时，交叉项为零，不发生干涉。

当 $\omega_1 = \omega_2$ 时，

$$\begin{aligned} \Delta I(P) &\approx A_1 A_2 \langle \cos[(\omega_1 - \omega_2)t + (\varphi_1 - \varphi_2)] \rangle \\ &\neq 0, \text{ (ps: } \varphi_1 - \varphi_2 \text{ 的值合适的情况下)} \end{aligned}$$

此时，干涉项不为零。也就是说，当满足同频条件 $\omega_1 = \omega_2$ 时，才能发生干涉。

(3) 场点有稳定的相位差。

双光束干涉强度公式

注意到：

$$\begin{aligned} I_1(P) &\equiv \langle U_1(P, t) \rangle \\ &\approx \frac{1}{2} A_1^2 \\ I_2(P) &\approx \frac{1}{2} A_2^2 \end{aligned}$$

上面推导给出，当 $\omega_1 = \omega_2$ 时，有：

$$\begin{aligned} \Delta I(P) &\approx A_1 A_2 \langle \cos[(\omega_1 - \omega_2)t + (\varphi_1 - \varphi_2)] \rangle \\ &= A_1 A_2 \langle \cos(\varphi_1 - \varphi_2) \rangle \\ &= A_1 A_2 \cos(\varphi_1 - \varphi_2) \end{aligned}$$

令：

$$\delta(P) = \varphi_1 - \varphi_2$$

则得到双光束干涉强度公式：

$$\begin{aligned} I(P) &= I_1 + I_2 + A_1 A_2 \cos \delta(P) \\ &= I_1 + I_2 + 2\sqrt{I_1 I_2} \cos \delta(P) \end{aligned}$$

或者：

$$I(P) = \frac{1}{2} A_1^2 + \frac{1}{2} A_2^2 + \sqrt{A_1 A_2} \cos \delta(P)$$

由于上式中很多 $\frac{1}{2}$ ，不好看，而光强又只是一“相对度量手段”，不妨将光强写为：

$$I(P) = A_1^2 + A_2^2 + 2A_1 A_2 \cos \delta(P)$$

再注意到复振幅：

$$\begin{aligned} \tilde{U}_1(P) &= A_1 e^{-i\varphi_1(P)} \\ \tilde{U}_2(P) &= A_2 e^{-i\varphi_2(P)} \end{aligned}$$

注意到：

$$\begin{aligned} [\tilde{U}_1(P) + \tilde{U}_2(P)][\tilde{U}_1(P) + \tilde{U}_2(P)]^* &= [A_1 e^{-i\varphi_1(P)} + A_2 e^{-i\varphi_2(P)}][A_1 e^{i\varphi_1(P)} + A_2 e^{i\varphi_2(P)}] \\ &= A_1^2 + A_2^2 + A_1 A_2 e^{i(\varphi_2(P) - \varphi_1(P))} + A_1 A_2 e^{i(\varphi_1(P) - \varphi_2(P))} \\ &= A_1^2 + A_2^2 + A_1 A_2 \cos \left[\varphi_2(P) - \varphi_1(P) \right] + i \sin \left[\varphi_2(P) - \varphi_1(P) \right] + A_1 A_2 \cos \left[\varphi_1(P) - \varphi_2(P) \right] + i \\ &= A_1^2 + A_2^2 + 2A_1 A_2 \cos \delta(P) \end{aligned}$$

干涉场的衬比度

$$\gamma \equiv \frac{I_{\max} - I_{\min}}{I_{\max} + I_{\min}}$$
$$0 \leq \gamma \leq 1$$

衬比度越大，干涉条纹清晰度越好。

当衬比度 $\gamma = 0$ ，即 $I_{\max} = I_{\min}$ ，此时干涉场中光强处处相等，不出现干涉条纹。

对于双光束干涉，

$$I = I_1 + I_2 + 2\sqrt{I_1 I_2} \cos \delta(P)$$

得到：

$$I_{\max} = I_1 + I_2 + 2\sqrt{I_1 I_2}$$
$$I_{\min} = I_1 + I_2 - 2\sqrt{I_1 I_2}$$

于是：

$$\begin{aligned} \gamma &\equiv \frac{I_{\max} - I_{\min}}{I_{\max} + I_{\min}} \\ &= \frac{4\sqrt{I_1 I_2}}{2(I_1 + I_2)} \\ &= \frac{2\sqrt{I_1 I_2}}{I_1 + I_2} \end{aligned}$$

考虑到 $I_1/I_2 = (A_1/A_2)^2$

于是双光束干涉的衬比度也可以用振幅比表达：

$$\gamma = \frac{2\frac{A_1}{A_2}}{1 + (\frac{A_1}{A_2})^2}$$

利用衬比度表达双光束干涉强度公式

$$\begin{aligned} I &= I_1 + I_2 + 2\sqrt{I_1 I_2} \cos \delta(P) \\ &= (I_1 + I_2)(1 + \frac{2\sqrt{I_1 I_2}}{I_1 + I_2} \cos \delta(P)) \\ &= (I_1 + I_2)(1 + \gamma \cos \delta(P)) \\ &= I_0(1 + \gamma \cos \delta(P)), \quad I_0 = I_1 + I_2 \end{aligned}$$

两束自然光交叠场中衬比度 γ 与光束夹角 α 的关系

$$\gamma = \frac{1}{2}(1 + \cos \alpha)$$

相干叠加的五个条件

- (1) 光振动方向一致或有方向一致的平行振动分量。
- (2) 两列波的频率相同。
- (3) 场点有稳定的相位差。
- (4) 参与相干叠加的两束光的振幅尽可能接近。
- (5) 参与相干叠加的两束光的传播方向的夹角不要太大。

双光束干涉强度公式汇总

$$I(P) = I_1 + I_2 + 2\sqrt{I_1 I_2} \cos \delta(P)$$

$$I(P) = A_1^2 + A_2^2 + 2A_1A_2 \cos \delta(P)$$

$$I(P) = (\tilde{U}_1 + \tilde{U}_2)(\tilde{U}_1 + \tilde{U}_2)^*$$

$$I(P) = I_0(1 + \gamma \cos \delta(P)), \quad I_0 = I_1 + I_2$$

光的干涉

杨氏双孔干涉

杨氏双孔干涉强度分布公式

$$I(x,y) = I_0[1 + \cos(k\frac{d}{D}x)]$$

其中， k 是波矢大小， d 是双孔间距， D 是双孔到屏幕的距离

杨氏双孔干涉干涉条纹间距公式

$$\Delta x = \frac{\lambda D}{d}$$

其中， Δx 是条纹间距， λ 是光波长， D 是双孔到接收屏距离， d 是双孔间距

杨氏双孔干涉点源位移导致条纹移动

$$\delta x = \frac{D}{R}x_0$$

其中， δx 是零级条纹的位移， D 是双孔到接收面的距离， R 是源面到双孔的距离， x_0 是点源相对中心轴的位移

两个分离点源照明时的部分相干场

$$I(x,y) = 2I_0[1 + \cos \frac{\varphi_0}{2} \cdot \cos(2\pi f x + \frac{\varphi_0}{2})]$$

$$\varphi_0 = 2\pi f_0 x_0, \quad f_0 = \frac{d}{R\lambda}$$

衬比度：

$$\gamma = |\cos \frac{\varphi_0}{2}|, \quad \varphi_0 = 2\pi f_0 x_0$$

线光源照明时的部分相干场

$$I(x,y) = I_0\left(1 + \frac{\sin \pi f_0 b}{\pi f_0 b} \cdot \cos(2\pi f x)\right)$$

衬比度：

$$\gamma = \left|\frac{\sin \pi f_0 b}{\pi f_0 b}\right|, \quad f_0 = \frac{d}{R\lambda}$$

其中， b 是线光源的宽度， R 是源面到双孔的距离， d 是双孔间距， λ 是单色线光源的波长。

注意，接收屏上各场点处的衬比度都相等。

整套干涉条纹的衬比度由实验装置的参数决定，具体来说， γ 由双孔间距 d ，源面到双孔的距离 R ，线光源的宽度 b ，单色线光源的波长 λ 决定。

衬比度 γ 与双孔到接收屏的距离无关。

光源极限宽度或双孔极限间隔

光源极限宽度，记为 b_0 ，定义为使得衬比度 γ 第一次降为 0 时 b 的取值。

注意到，杨氏双孔模型中，若采用线光源照明，有：

$$\begin{aligned}\gamma &= \left| \frac{\sin \pi f_0 b}{\pi f_0 b} \right|, \quad f_0 = \frac{d}{R\lambda} \\ &= \left| \frac{\sin\left(\frac{\pi}{R\lambda} \cdot bd\right)}{\frac{\pi}{R\lambda} \cdot bd} \right|\end{aligned}$$

让线光源宽度 b 改变，而保持其他量不变，则由光源极限宽度的定义，有：

$$\frac{\pi}{R\lambda} \cdot b_0 d = \pi \implies b_0 = \frac{R\lambda}{d}$$

$$b_0 = \frac{R\lambda}{d}$$

若线光源的宽度大于光源极限宽度 b_0 ，则认为接收屏上的干涉条纹的衬比度为零。

双孔极限间隔，记为 d_0 ，定义为使得衬比度 γ 第一次降为 0 时 d 的取值。

让双孔间隔 d 改变，而保持其他量不变，则由双孔极限间隔的定义，有：

$$\frac{\pi}{R\lambda} \cdot bd_0 = \pi \implies d_0 = \frac{R\lambda}{b}$$

$$d_0 = \frac{R\lambda}{b}$$

若双孔的间隔 d 大于双孔极限间隔 d_0 ，则认为接收屏上的干涉条纹的衬比度为零。

三种光源的光源极限宽度

$$b_0 = K \frac{R\lambda}{d}$$

线光源， $K = 1.0$

环状光源， $K = 0.78$

圆盘光源， $K = 1.2$

任何形状的面光源均可被压缩为沿 x 轴的一个等效线光源。相应地，等效线光源有一个非均匀的亮度分布 $B(x_0)$

光场的空间相干性

光场的空间相干性是指，在非相干扩展光源照明空间中，横向两点光扰动之间一般是部分相干的，或者说，这两个光扰动相位随机量之间是部分相关的，部分相干程度由观测平面上干涉场的衬比度 γ 来反映。

空间相干性反比公式——相干孔径角和相干面积

上面给出了当光源宽度 b 给定时，双孔的极限间隔：

$$d_0 = \frac{R\lambda}{b}$$

其中， R 是源面到双孔面的间距， λ 是光波长

上式可改写为：

$$b \cdot \frac{d_0}{R} = \lambda$$

注意到，当 $R \gg d_0$ 时，有：

$$\frac{d_0}{R} \approx \Delta\theta_0$$

其中， $\Delta\theta_0$ 是双孔间隔等于双孔极限间隔 d_0 时双孔对**线光源**中心张开的孔径角，称为**相干孔径角**，于是进一步有：

$$b \cdot \Delta\theta_0 \approx \lambda$$

上式就是**空间相干性反比公式**。

若双孔对线光源中心所张开的孔径角 $\Delta\theta$ 大于相干孔径角 $\Delta\theta_0$ ，则认为接收屏上干涉条纹的衬比度为零。

$\Delta\theta_0$ 的物理意义是，若两点源 S_1, S_2 对线光源中心的实际张角 $\Delta\theta \approx \Delta\theta_0$ ，则这两个点源几乎非相干；若 $\Delta\theta < \Delta\theta_0$ ，则 $\gamma > 0$ ，两点源部分相干；比值 $\Delta\theta/\Delta\theta_0$ 越小，两点源的相干程度越高。

前面给出了杨氏双孔干涉在线光源照明时的衬比度公式：

$$\gamma = \left| \frac{\sin(\frac{\pi}{R\lambda} \cdot bd)}{\frac{\pi}{R\lambda} \cdot bd} \right|$$

也给出了空间相干性反比公式：

$$b \cdot \Delta\theta_0 \approx \lambda \implies \frac{b}{\lambda} \approx \frac{1}{\Delta\theta_0}$$

而双孔对线光源中心的实际张角 $\Delta\theta$ 可近似为：

$$\Delta\theta \approx \frac{d}{R}$$

于是杨氏双孔干涉在线光源照明时的衬比度可改写为关于 $\Delta\theta/\Delta\theta_0$ 的函数：

$$\gamma(\frac{\Delta\theta}{\Delta\theta_0}) = \left| \frac{\sin \pi \frac{\Delta\theta}{\Delta\theta_0}}{\pi \frac{\Delta\theta}{\Delta\theta_0}} \right|$$

若面光源在相互垂直的两个方向上均有宽度 b ，则空间相干范围应该是一个由 $\Delta\theta_0$ 旋转而成的立体角 $\Delta\Omega_0$ ，与光源距离 R 处的相应面积 ΔS_0 称为相干面积。在相干面积之内的两个点源之间是部分相干的。

在球面上 $\theta \sim \theta + d\theta, \varphi \sim \varphi + d\varphi$ 范围内的立体角微元为

$$d\Omega = \frac{Rd\theta \cdot R\sin\theta d\varphi}{R^2} = \sin\theta d\theta d\varphi$$

建立球坐标，使得 z 轴穿过相干面积的中心，积分得：

$$\begin{aligned} \Delta\Omega_0 &= \int_{\varphi=0}^{\varphi=2\pi} \int_{\theta=0}^{\theta=\Delta\theta_0/2} \sin\theta d\theta d\varphi \\ &= 2\pi(1 - \cos \frac{\Delta\theta_0}{2}) \\ &= 4\pi \sin^2 \frac{\Delta\theta_0}{4} \\ &\approx 4\pi(\frac{\Delta\theta_0}{4})^2 \\ &= \frac{\pi}{4}(\Delta\theta_0)^2 \end{aligned}$$

于是相干面积为：

$$\begin{aligned} \Delta S_0 &\approx R^2 \Delta\Omega_0 \\ &\approx \frac{\pi}{4}(R\Delta\theta_0)^2 \end{aligned}$$

利用空间相干性反比公式 $b \cdot \Delta\theta_0 \approx \lambda$ 以及极限间隔 $d_0 = \frac{R\lambda}{b}$ 得到：

$$\begin{aligned} \Delta S_0 &\approx \frac{\pi}{4}(R\Delta\theta_0)^2 \\ &\approx \frac{\pi}{4}(\frac{R\lambda}{b})^2 \\ &\approx \frac{\pi}{4}d_0^2 \end{aligned}$$

其中， d_0 是光源宽度 b 对应的 S_1, S_2 极限间隔。

光场的时间相干性

非单色性对干涉衬比度的影响

光谱双线结构导致衬比度周期性变化

$$\gamma = \left| \cos\left(\frac{\Delta k}{2} \cdot \Delta L\right) \right|$$

干涉场中衬比度随光程差作周期性变化，半周期为：

$$\Delta L_0 = \frac{\pi}{\Delta k} \approx \frac{\bar{\lambda}^2}{2\Delta\lambda}$$

准单色线宽导致衬比度 $\gamma(\Delta L)$ 下降

采用方垒形谱函数，可以得到：

$$\gamma(\Delta L) = \left| \frac{\sin(\frac{\Delta k}{2} \Delta L)}{\frac{\Delta k}{2} \Delta L} \right|$$

最大光程差 ΔL_M

最大光程差，记为 ΔL_M ，定义为使得 γ 第一次等于 0 的光程差 ΔL 的取值

$$\frac{\Delta k}{2} \Delta L_M = \pi \implies L_M = \frac{2\pi}{\Delta k}$$

借助公式 $\frac{\Delta\lambda}{\lambda} \approx \frac{\Delta k}{k}$ ，也可将上式写为：

$$\Delta L_M = \frac{\lambda^2}{\Delta\lambda}$$

上面两式可写成反比形式：

$$\Delta L_M \cdot \Delta k = 2\pi, \quad \Delta L_M \cdot \frac{\Delta\lambda}{\lambda} = \lambda$$

利用最大光程差 ΔL_M ，可将衬比度函数改写为：

$$\gamma(\Delta L) = \left| \frac{\sin\left(\pi \frac{\Delta L}{\Delta L_M}\right)}{\pi \frac{\Delta L}{\Delta L_M}} \right|$$

时间相干性的突出表现——长程干涉

可以证明，由谱线宽度 $\Delta\lambda$ 决定的最大光程差 ΔL_M 与由波列长度 L_0 决定的最大光程差 $\Delta L'_M$ 是一致的。

时间相干性反比公式

$$L_0 \cdot \frac{\Delta\lambda}{\lambda} \approx \lambda$$

利用 $\Delta\nu/\nu \approx \Delta\lambda/\lambda$ ，可将上式改写为：

$$\tau_0 \cdot \Delta\nu \approx 1$$

其中， τ_0 是相干时间。

两种典型薄膜干涉

等倾干涉

膜层厚度均匀、点光源照明条件下**无穷远处**的干涉场（借助透镜来实现）

表观光程差公式

$$\Delta L_0(P) = 2nh \cos i$$

其中, n 是薄膜折射率, h 是薄膜厚度, i 是入射角

表观光程差唯一地确定于倾角 i , 于是等倾角的场点轨迹就是条纹形状。等倾干涉的干涉条纹是一系列**圆环**。

等倾干涉条纹的性质

- (1) 扩展光源有利于观察等倾干涉条纹
- (2) 等倾干涉条纹为一系列圆环
- (3) 中心处的级次最高（中心, $i = 0$, 表观光程差最大, 级次最高）, 外围的级次逐渐降低。
- (4) 中心条纹稀疏, 外围条纹密集
- (5) 膜厚度改变半个波长时, 从中心冒出或缩进一个条纹。

考虑中心条纹, $i = 0, \cos i = 1$, 假设原来薄膜厚度为 h 时中心处是亮条纹/暗条纹, 有:

$$\frac{2\pi}{\lambda_0} \cdot 2nh = \Delta\varphi_0$$

当薄膜厚度从 h 增加到 $h + \Delta h$ 时 ($\Delta h > 0$) 恰好冒出一个亮条纹/暗条纹, 有:

$$\frac{2\pi}{\lambda_0} \cdot 2n(h + \Delta h) = \Delta\varphi_0 + 2\pi$$

作差得:

$$\frac{2\pi}{\lambda_0} \cdot 2n\Delta h = 2\pi$$

得到:

$$\Delta h = \frac{\lambda_0}{2n} = \frac{\lambda}{2}$$

其中, λ 是介质中的波长

根据冒出的条纹数, 可以测定长度的微小变化。

一般地, 设膜厚度改变 Δx 的过程中冒出或缩进了 N 个条纹, 则有:

$$\Delta x = N \frac{\lambda}{2}$$

等厚干涉

定域在薄膜表面上的干涉条纹

厚度相同的地方, 是同一级亮条纹, 故称等厚干涉。

光的衍射

衍射现象

波在传播传播过程中遇到障碍物, 能够绕过障碍物的边缘前进。这种偏离直线传播的现象成文衍射现象。

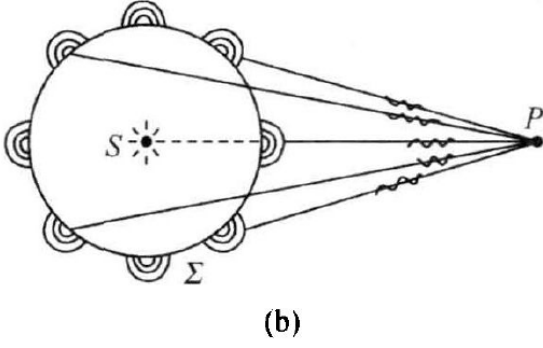
波长越大, 障碍物越小, 衍射越明显。

惠更斯-菲涅耳原理

波前上的每个面元可以看作次波源, 它们向四周发射次波; 波场中任一场点的扰动, 是所有次波源所贡献的次级扰动的**相干叠加**。

设波前 Σ 上任一面元 dS 对场点 P 贡献的刺激扰动复振幅为 $d\tilde{U}(P)$, 则按惠更斯-菲涅耳原理, 总扰动 $\tilde{U}(P)$ 应表达为:

$$\tilde{U}(P) = \iiint_{(\Sigma)} d\tilde{U}(P)$$



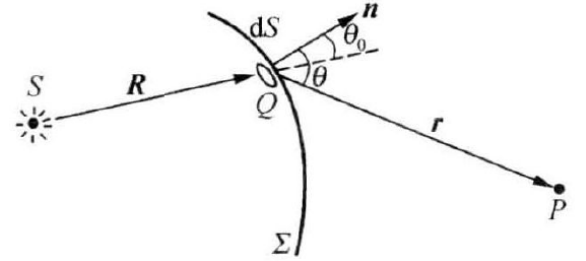
菲涅耳衍射积分式

决定 $d\tilde{U}(P)$ 的因素:

$$\begin{aligned} d\tilde{U}(P) &\propto dS \quad \text{波前上作为次波源的微分面元} \\ &\propto \tilde{U}_0(Q) \quad \text{次波源自身的复振幅} \\ &\propto \frac{1}{r} e^{ikr} \quad \text{次波源发射球面波到达场点} \\ &\propto f(\theta_0, \theta) \quad \text{倾斜因子用以表明次波面源的发射并非各向同性} \end{aligned}$$

综合以上因素, $\tilde{U}(P) = \iiint_{(\Sigma)} d\tilde{U}(P)$ 可以进一步表达为:

$$\tilde{U}(P) = K \iiint_{(\Sigma)} f(\theta_0, \theta) \tilde{U}_0(Q) \frac{e^{ikr}}{r} dS$$



其中, Q 是次波源, dS 是波前 Σ 上 Q 点处的小面元, $\tilde{U}_0(Q)$ 是 Q 点复振幅, r 是次波源 Q 到场点 P 的距离, $f(\theta_0, \theta)$ 是倾斜因子。

基尔霍夫衍射积分式

基尔霍夫从定态波场的亥姆霍兹方程出发, 利用矢量场论中的格林公式, 在 $kr \gg 1$, 即 $r \gg \lambda$ 的条件下, 导出了无源空间边值定解的表达式:

$$\tilde{U}(P) = \frac{-i}{\lambda} \iiint_{(\Sigma)} \frac{1}{2} (\cos \theta_0 + \cos \theta) \tilde{U}_0(Q) \frac{e^{ikr}}{r} dS$$

凡是隔离实在的点光源与场点的任意闭合曲面, 都可以作为衍射积分式中的积分面。

基尔霍夫边界条件

取闭合面:

$$(\Sigma) = \Sigma_0 + \Sigma_1 + \Sigma_2$$

其中, Σ_0 是光孔面, Σ_1 是光屏面, Σ_2 是无穷远半球面。

基尔霍夫边界条件认为:

- (1) 无穷远面 Σ_2 上的波前对场点的贡献为零
- (2) 光屏面 Σ_1 上波前函数为零, 对场点也没有贡献
- (3) 只有光孔面 Σ_0 的波前对场点有贡献, 且其波前函数 $\tilde{U}'_0(Q)$ 等于无屏障时自由传播的光场 $\tilde{U}_0(Q)$, 即 $\tilde{U}'_0(Q) = \tilde{U}_0(Q)$

基于此, 基尔霍夫衍射积分式简化为:

$$\tilde{U}(P) = \frac{-i}{\lambda} \iint_{\Sigma_0} f(\theta_0, \theta) \tilde{U}_0(Q) \frac{1}{r} e^{ikr} dS$$

其中，倾斜因子为 $f(\theta_0, \theta) = \frac{1}{2}(\cos \theta_0 + \cos \theta)$

傍轴条件衍射积分式

傍轴条件下，

倾斜因子 $f(\theta_0, \theta) = \frac{1}{2}(\cos \theta_0 + \cos \theta) \approx 1$

球面次波函数 $\frac{1}{r}e^{ikr} \approx \frac{1}{r_0}e^{ikr}$

得到傍轴条件衍射积分公式：

$$\tilde{U}(P) = \frac{-i}{\lambda r_0} \iint_{\Sigma_0} \tilde{U}_0(Q) e^{ikr} dS$$

衍射系统及其分类——菲涅耳衍射与夫琅禾费衍射

菲涅耳衍射

光源到衍射屏、衍射屏到接收屏之间的距离均为有限远，或其中之一是有限远的场合；或者说，**球面波照明时在有限远处接收**的是菲涅耳衍射场。

夫琅禾费衍射

光源到衍射屏、衍射屏到接收屏的距离都是无限远；或者说，**平面波照明时在无穷远处接收**的是夫琅禾费衍射场。

衍射巴比涅原理

设 Σ_a, Σ_b 是一对透光率互补的屏面，现将它们作为衍射屏先后插置于衍射系统中，设 Σ_a 单独存在时形成的衍射场为 $\tilde{U}_a(P)$ ， Σ_b 单独存在时形成的衍射场为 $\tilde{U}_b(P)$ ，光波通行无阻时全波前 Σ_0 形成的自由光场为 $\tilde{U}_0(P)$ ，由于：

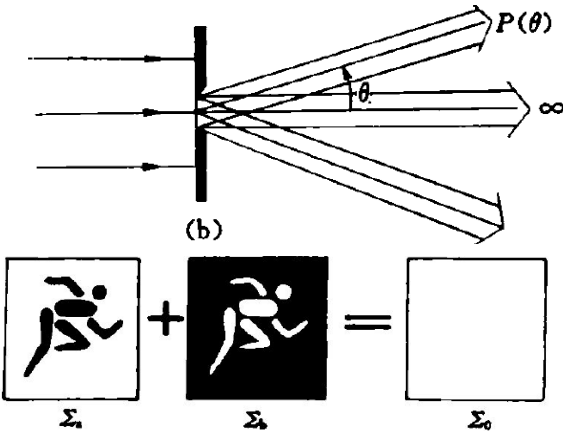


图 2.34 巴比涅原理中的一对互补屏

$$\Sigma_a + \Sigma_b = \Sigma_0$$

根据基尔霍夫衍射积分公式，结合二重积分的区域可加性，有：

$$\begin{aligned} \tilde{U}_0(P) &= \frac{-i}{\lambda} \iint_{(\Sigma_0)} f(\theta_0, \theta) \tilde{U}_0(Q) \frac{1}{r} e^{ikr} dS \\ &= \frac{-i}{\lambda} \iint_{(\Sigma_a) + (\Sigma_b)} f(\theta_0, \theta) \tilde{U}_0(Q) \frac{1}{r} e^{ikr} dS \\ &= \frac{-i}{\lambda} \iint_{(\Sigma_a)} f(\theta_0, \theta) \tilde{U}_0(Q) \frac{1}{r} e^{ikr} dS + \frac{-i}{\lambda} \iint_{(\Sigma_b)} f(\theta_0, \theta) \tilde{U}_0(Q) \frac{1}{r} e^{ikr} dS \\ &= \tilde{U}_a(P) + \tilde{U}_b(P) \end{aligned}$$

最终结果是：

$$\tilde{U}_0(P) = \tilde{U}_a(P) + \tilde{U}_b(P)$$

这一反映两个孔型互补屏产生的两个衍射场关系的方程，称为**巴比涅原理**(Babinet principle)

巴比涅原理的应用

由于自由光场是容易知道的，故我们可以由单缝衍射场，直接导出细丝衍射场；由圆孔衍射场，直接导出圆屏衍射场

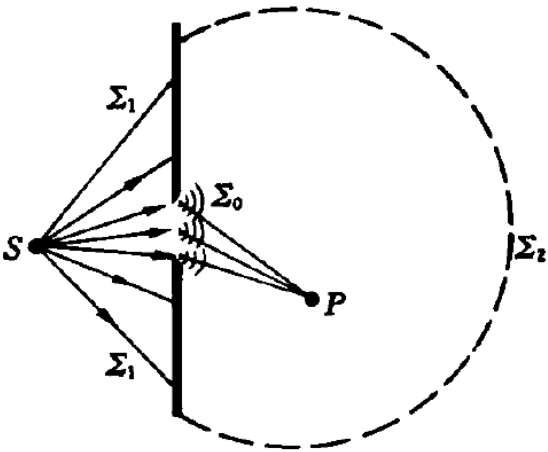
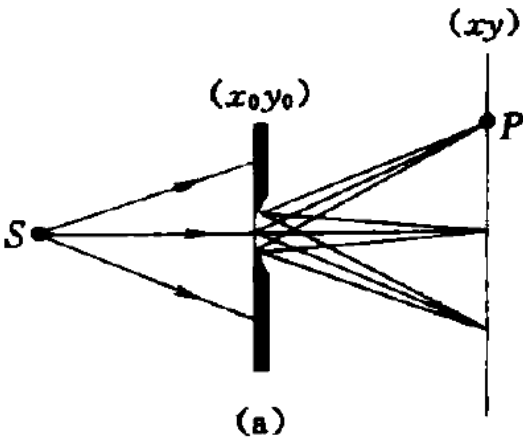


图 2.29 说明基尔霍夫边界条件



圆孔和圆屏菲涅耳衍射

半波带法

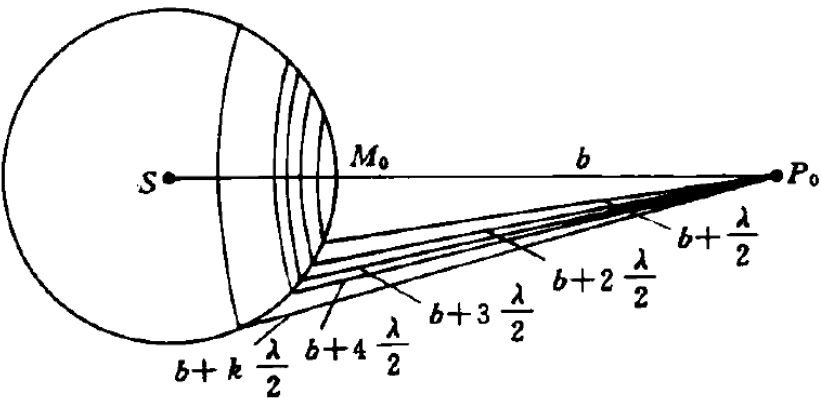


图 2.39 分割波前的半波带方法

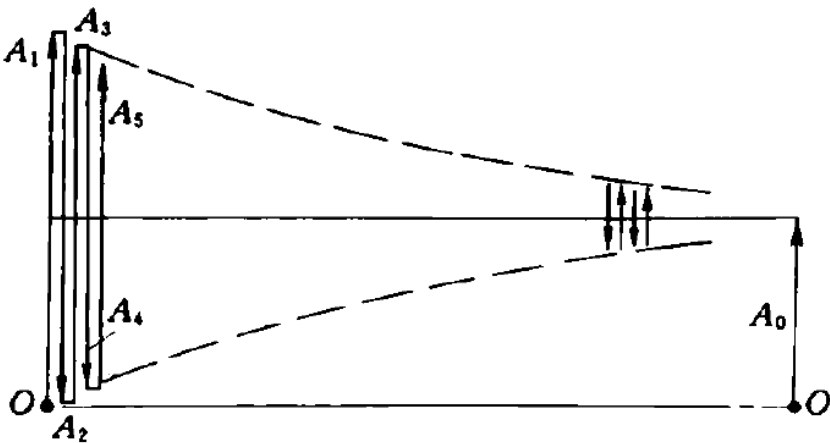


图 2.41 采取半波带方法时的相干叠加矢量图解

螺旋式曲线

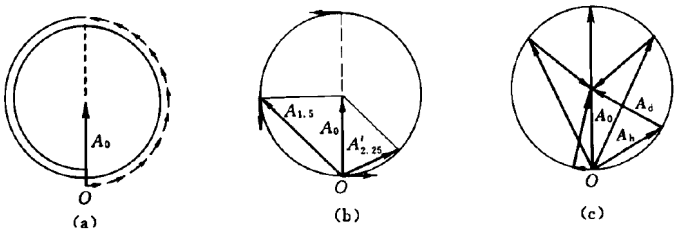
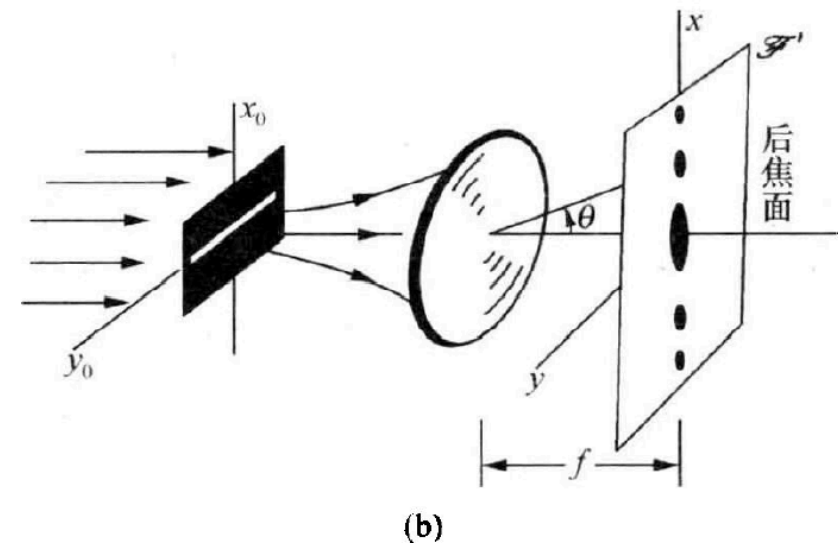


图 2.43 圆孔衍射轴上光场的矢量图解 (a), 用于圆孔包含非整数个半波带 (b), 用于说明圆屏衍射 (c)

效仿半波带方法，将每个半波带再细分为 N 个环带；每个细环带上的次波源对场点贡献的小扰动，可由一个小矢量表示；这 N 个小矢量长度相等，取向渐变以反映彼此间的相位差。这些小矢量头尾相接，形成半个正多边形，其极限过渡为半圆。于是，波前上全部次波源在轴上场点 P_0 贡献地扰动小矢量，形成一个半径及其缓慢收缩地螺旋式曲线。借此，可以求得 k 为非整数时的衍射强度 $I(P_0)$

单缝夫琅禾费衍射



平行光照射单缝，在透镜后焦面 \mathcal{F}' 上接收夫琅禾费衍射场。

单狭缝的宽度 $\Delta x_0 = a \ll$ 长度 $\Delta y_0 = b$ ，其衍射强度显著地沿 x 轴扩展。

矢量图解法

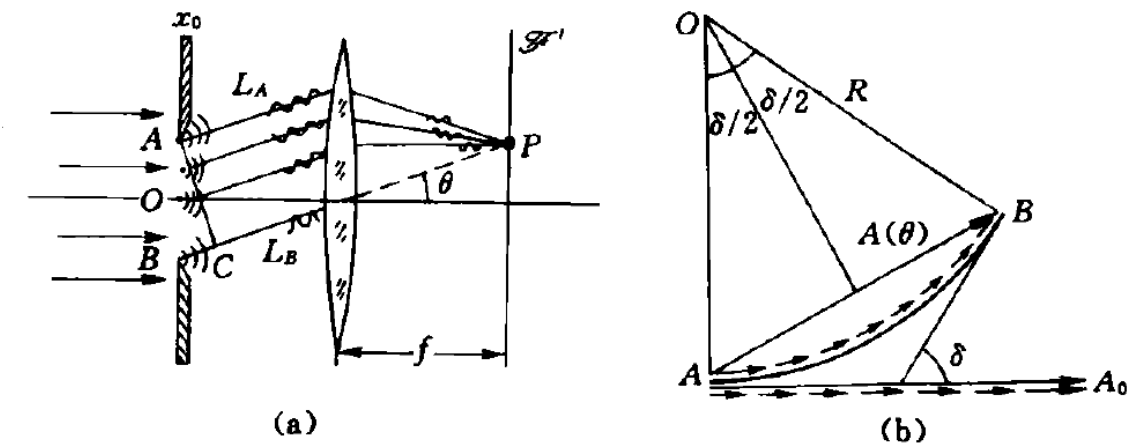


图 2.49 单缝夫琅禾费衍射. (a) 光程差分析, (b) 矢量图解法,

θ 是衍射角，用于标定场点 P 的位置，现在分析后焦面上的衍射强度分布 $I(\theta)$ ：

由透镜的性质，像空间后焦面上的一个点对应于物空间的一个方向，即从单缝出发衍射角为 θ 的一系列次波线才能会聚在后焦面上的一点 P ，发生相干叠加，从而决定了衍射强度。

为此，将单缝的宽度 $\Delta x_0 = a$ 继续细分（尽管已经很细了）为一系列更细的细缝，每个细缝作为次波源对场点贡献一个小扰动，用一个小矢量；这一系列小矢量长度相等，但取向依次变动，首位相接，形成一段圆弧。

这段圆弧 \widehat{AB} 起点 A 与终点 B 的两条切线的夹角 δ 是确定的，因为它代表了 A 边与 B 边贡献的两个小扰动之间的相位差 δ_{AB} ，而相位差 δ_{AB} 又取决于光程差。

光程差为：

$$\begin{aligned}\Delta &= L(BP) - L(AP) \\ &= n\overline{BC} \\ &= na \sin \theta\end{aligned}$$

由光程差和相位差的关系，可得：

$$\begin{aligned}\delta_{AB} &= \frac{2\pi}{\lambda_0} \Delta \\ &= \frac{2\pi}{\lambda} a \sin \theta\end{aligned}$$

$\widehat{AB} = A_0$, $\angle AOB = \delta$, $R = \frac{\widehat{AB}}{\delta}$, 于是可以求得相干叠加的合成振幅:

$$\begin{aligned}A(\theta) &= 2R \sin \frac{\delta}{2} \\ &= 2 \cdot \frac{\widehat{AB}}{\delta} \cdot \sin \frac{\delta}{2} \\ &= A_0 \frac{\sin \frac{\delta}{2}}{(\frac{\delta}{2})}\end{aligned}$$

引入宗量:

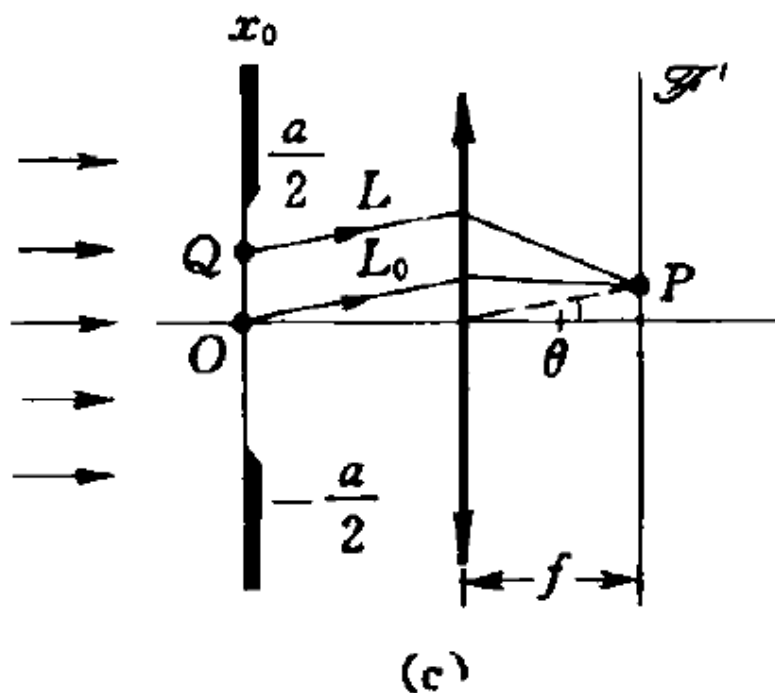
$$\alpha = \frac{\delta}{2} = \frac{\pi a \sin \theta}{\lambda}$$

得到单缝夫琅禾费衍射场的振幅分布和强度分布:

$$\begin{aligned}A(\theta) &= A_0 \frac{\sin \alpha}{\alpha}, \quad \alpha = \frac{\pi a \sin \theta}{\lambda} \\ I(\theta) &= I_0 \left(\frac{\sin \alpha}{\alpha} \right)^2, \quad I_0 = A_0^2, \alpha = \frac{\pi a \sin \theta}{\lambda}\end{aligned}$$

其中, A_0 代表一系列振动小矢量取向一致时的合成振幅。

衍射积分法



§. (c) 衍射积分法

单缝夫琅禾费衍射场也可以由傍轴衍射积分公式求得:

$$\tilde{U}(P) = \frac{-\mathrm{i}}{\lambda r_0} \iint \tilde{U}_0(Q) e^{\mathrm{i}kr} \mathrm{d}S$$

经透镜变换，振幅系数：

$$\frac{1}{r_0} \rightarrow \frac{1}{f}$$

平行光正入射：

$$\tilde{U}_0(x_0) = A$$

积分面元：

$$\mathrm{d}S = b\mathrm{d}x_0$$

相位因子 $e^{\mathrm{i}kr}$ ：

$$\begin{aligned} kr &= \frac{k}{n} \cdot nr \\ &= k_0 L \\ &= k_0(L - L_0) + k_0 L_0 \\ &= -k_0 n x_0 \sin \theta + k_0 L_0 \\ &= -k x_0 \sin \theta + k_0 L_0 \end{aligned}$$

其中， L_0 是坐标原点 O 出发沿 θ 方向到达场点 P 的光程 $L_0(OP)$ ，作为参考光程。

综上，衍射积分式可以表示为：

$$\begin{aligned} \tilde{U}(\theta) &= \frac{-\mathrm{i}}{\lambda r_0} \iint \tilde{U}_0(Q) e^{\mathrm{i}kr} \mathrm{d}S \\ &= \frac{-\mathrm{i}}{\lambda f} \int_{x_0=-a/2}^{x_0=a/2} A \cdot e^{\mathrm{i}(-k x_0 \sin \theta + k_0 L_0)} \cdot b \mathrm{d}x_0 \\ &= \frac{-\mathrm{i}}{\lambda f} A b e^{\mathrm{i}k_0 L_0} \int_{x_0=-a/2}^{x_0=a/2} e^{-\mathrm{i}k x_0 \sin \theta} \mathrm{d}x_0 \\ &= \frac{-\mathrm{i}}{\lambda f} A b e^{\mathrm{i}k_0 L_0} \cdot \frac{2 \sin(\frac{a}{2} k \sin \theta)}{k \sin \theta} \\ &= \frac{-\mathrm{i}}{\lambda f} (ab) A e^{\mathrm{i}k_0 L_0} \cdot \frac{\sin(\frac{a}{2} k \sin \theta)}{\frac{a}{2} k \sin \theta} \\ &= \frac{-\mathrm{i}}{\lambda f} (ab) A e^{\mathrm{i}k_0 L_0} \cdot \frac{\sin(\frac{a}{2} \frac{2\pi}{\lambda} \sin \theta)}{\frac{a}{2} \frac{2\pi}{\lambda} \sin \theta} \\ &= \frac{-\mathrm{i}}{\lambda f} (ab) A e^{\mathrm{i}k_0 L_0} \cdot \frac{\sin(\frac{\pi a \sin \theta}{\lambda})}{\frac{\pi a \sin \theta}{\lambda}} \\ &= \frac{-\mathrm{i}}{\lambda f} (ab) A \cdot \frac{\sin \alpha}{\alpha}, \quad \alpha = \frac{\pi a \sin \theta}{\lambda} \\ &= \boxed{\tilde{c} e^{\mathrm{i}k_0 L_0} \cdot \frac{\sin \alpha}{\alpha}}, \quad \tilde{c} = \frac{-\mathrm{i}}{\lambda f} (ab) A, \quad \alpha = \frac{\pi a \sin \theta}{\lambda} \end{aligned}$$

光强分布为：

$$\begin{aligned} I(\theta) &= \tilde{U} \tilde{U}^* \\ &= I_0 \left(\frac{\sin \alpha}{\alpha} \right)^2 \end{aligned}$$

其中，

$$\begin{aligned} \tilde{c} &= \frac{-\mathrm{i}}{\lambda f} (ab) A, \quad I_0 = \tilde{c} \tilde{c}^* = \frac{(ab)^2}{(\lambda f)^2} A^2, \quad \alpha = \frac{\pi a \sin \theta}{\lambda} \\ A(\theta) &= A_0 \frac{\sin \alpha}{\alpha}, \quad \alpha = \frac{\pi a \sin \theta}{\lambda} \end{aligned}$$

单缝夫琅禾费衍射的主要特征

(1) 最大值

$$I(\theta) = I_0 \frac{\sin(\frac{\pi a \sin \theta}{\lambda})}{\frac{\pi a \sin \theta}{\lambda}}$$

当 $\theta = 0$ 时, $I(\theta)$ 取最大值 $I(0) = I_0$, 称为零级衍射峰。可以看出, I_0 的物理就是零级衍射峰的光强。

(2) 零点位置

$$I(\theta) = I_0 \frac{\sin(\frac{\pi a \sin \theta}{\lambda})}{\frac{\pi a \sin \theta}{\lambda}}$$

当:

$$\frac{\pi a \sin \theta}{\lambda} = j\pi, \quad j = \pm 1, \pm 2, \cdots$$

时, 即:

$$a \sin \theta = j\lambda, \quad j = \pm 1, \pm 2, \cdots$$

时, $I(\theta) = 0$, 出现暗点。上式称为单缝衍射零点条件。

(3) 次极大

在相邻两个零点之间存在一个极大值

(4) 半角宽度 $\Delta\theta_0$

零级衍射峰的半角宽度, 记为 $\Delta\theta_0$, 定义为由零级衍射峰与其邻近暗点之间的角方位之差, 即:

$$\Delta\theta_0 \equiv \theta_1 - \theta_0$$

其中, $\theta_0 = 0$, θ 满足单缝衍射零点条件:

$$a \sin \theta_1 = 1 \cdot \lambda \implies \theta_1 \approx \sin \theta_1 = \frac{\lambda}{a}$$

于是:

$$\Delta\theta_0 = \frac{\lambda}{a}$$

半角宽度也叫衍射发散角。

(5) 单缝宽度的影响

单缝宽度 a 影响半角宽度 $\Delta\theta_0$, 也影响零级衍射峰光强 I_0

$$\Delta\theta_0 = \frac{\lambda}{a}$$

单缝宽度 a 越小, 半角宽度 $\Delta\theta_0$ 越大, 这意味着衍射波更加发散。

$$I_0 = \frac{(ab)^2}{(\lambda f)^2} A^2$$

单缝宽度 a 越小, 零级衍射峰光强 I_0 也越小。

(6) 波长的影响

波长 λ 影响半角宽度 $\Delta\theta_0$, 也影响零级衍射峰光强 I_0

$$\Delta\theta_0 = \frac{\lambda}{a}$$

波长 λ 越大, 半角宽度 $\Delta\theta_0$ 也越大, 这就是说长波衍射效应更强烈。

$$I_0 = \frac{(ab)^2}{(\lambda f)^2} A^2$$

波长 λ 越大, 零级衍射峰强度 I_0 越小。

(7) 关于参考光程决定的相因子

参考光程相因子 $e^{ik_0 L_0}$ 是场点 P 的函数, 应当明确表示为 $e^{ik_0 L_0(P)}$

衍射反比律

$$\rho \cdot \Delta\theta \approx \lambda$$

其中, ρ 是限制波前的光孔在某方向的几何线度, $\Delta\theta$ 是衍射发散角。

圆孔夫琅禾费衍射

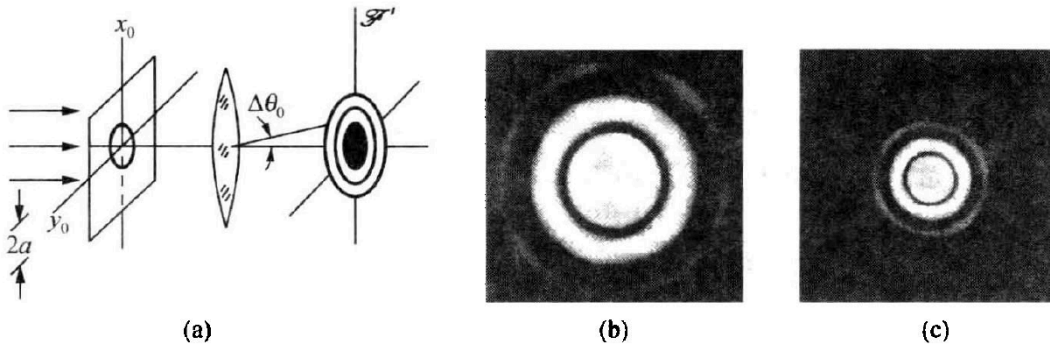


图 2.56 圆孔夫琅禾费衍射。(a) 实验装置, (b) 艾里斑(孔径 0.5 mm), (c) 艾里斑(孔径 1.0 mm)

$$\tilde{U}(\theta) = \tilde{c} e^{ik_0 L_0} \cdot 2 \frac{J_1(x)}{x}$$

$$I(\theta) = I_0 \left(\frac{2J_1(x)}{x} \right)^2$$

其中,

$$x = \frac{2\pi a \sin \theta}{\lambda}, \quad I_0 = \frac{(\pi a^2)^2}{(\lambda f)^2} A^2$$

其中, a 是圆孔半径, $J_1(x)$ 是一阶贝塞尔函数。

中心的那个亮斑称为**艾里斑**, I_0 是艾里斑中心强度。

一阶贝塞尔函数的第一个零点 x_0 的位置为:

$$x_0 = 1.22\pi$$

于是第一个暗环的角方位 θ_{10} 应满足:

$$\frac{2\pi a \sin \theta_{10}}{\lambda} = 1.22\pi$$

圆孔直径记为 D , $D = 2a$, 于是:

$$\sin \theta_{10} = 1.22 \frac{\lambda}{D}$$

艾里斑的半角宽度:

$$\Delta\theta_0 = \theta_{10} \approx 1.22 \frac{\lambda}{D}$$

或写为:

$$D\Delta\theta_0 \approx 1.22\lambda$$

瑞利判据

两个物点反映在像面上有两个艾里斑，设这两个艾里斑中心之角间隔为 $\delta\theta$, 每个艾里斑自身有个半角宽度 $\Delta\theta_0$, 瑞利提出的判据为：

$$\begin{aligned} \delta\theta > \Delta\theta_0 \text{时, 可分辨;} \\ \delta\theta < \Delta\theta_0 \text{时, 不可分辨} \\ \delta = \Delta\theta_0 \text{时, 给出可分辨的最小角间隔} \delta_m \end{aligned}$$

瑞利判据规定，当一个像斑中心恰好落在另一像斑边缘暗环时，确认两个像斑刚好可以分辨。

位移-相移定理

在一个夫琅禾费衍射系统中，当一图像位移时，其夫琅禾费衍射场将响应一个相移，两者的定量关系为：

$$\begin{aligned} \text{位移}(x_0, y_0) &\rightleftharpoons \text{相移}(\delta_1, \delta_2) \\ \delta_1 &= -kx_0 \sin \theta_1 \\ \delta_2 &= -ky_0 \sin \theta_2 \end{aligned}$$

其中， θ_1, θ_2 标定了夫琅禾费衍射场点的位置。

有序结构的夫琅禾费衍射场

设一衍射屏含 N 个全同单元，它们取向有序但不一定规则排列，设其中心单元产生的夫琅禾费场为 $\tilde{u}_0(\theta_1, \theta_2)$, 其他单元相对中心单元的位移矢量分别为 $\vec{r}_j = (x_j, y_j)$, 由位移-相移定理，相应的夫琅禾费场的相移量分别为：

$$\begin{aligned} \delta_{1j} &= -kx_j \sin \theta_1 \\ \delta_{2j} &= -ky_j \sin \theta_2 \end{aligned}$$

于是这有序结构产生的夫琅禾费场的组成为：

$$\begin{cases} \tilde{u}_0(\theta_1, \theta_2), \\ \tilde{u}_1(\theta_1, \theta_2) = \tilde{u}_0 \cdot e^{i(\delta_{11} + \delta_{21})}, \\ \tilde{u}_2(\theta_1, \theta_2) = \tilde{u}_0 \cdot e^{i(\delta_{12} + \delta_{22})}, \\ \tilde{u}_3(\theta_1, \theta_2) = \tilde{u}_0 \cdot e^{i(\delta_{13} + \delta_{23})}, \\ \vdots \end{cases}$$

根据波叠加原理，我们得到 N 个全同单元的有序结构产生的夫琅禾费衍射场的一般表达式为：

$$\tilde{U}(\theta_1, \theta_2) = \sum_{i=0}^{(N-1)} \tilde{u}_i = \tilde{u}_0 \sum_{i=0}^{N-1} e^{i(\delta_{1i} + \delta_{2i})}$$

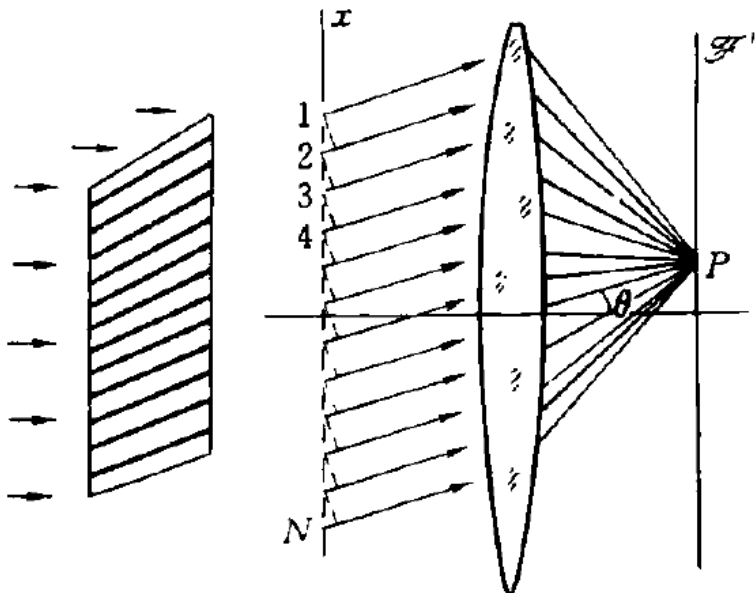
上式中规定， $\delta_{10} = \delta_{20} = 0$

上式可以改写为：

$$\begin{aligned} \tilde{U}(\theta_1, \theta_2) &= \tilde{u}_0(\theta_1, \theta_2) \cdot \tilde{S}(\theta_1, \theta_2) \\ \tilde{S}(\theta_1, \theta_2) &= \sum_{i=0}^{N-1} e^{i(\delta_{1i} + \delta_{2i})} \end{aligned}$$

其中， \tilde{u}_0 为单元衍射因子，简称其为**单元因子**或**形状因子**； $\tilde{S}(\theta_1, \theta_2)$ 为单元之间的干涉因子，简称为**结构因子**或**分布因子**。

一维光栅衍射



(a) 多缝光栅 (b) 光程递增 $\Delta r = d \sin \theta$

光栅定义：凡含众多全同单元，且排列规则、取向有序的周期结构，统称为光栅 (grating)

设一个一维多缝光栅透光的缝宽为 a ，挡光的缝宽为 b ，光栅的空间周期 d 定义为 $a + b$ ，亦称为**光栅常数**。单元密度定义为 $\frac{1}{d}$ ，光栅的有效长度记为 D ，则这块光栅含单元总数为：

$$N = \frac{D}{d}$$

一维光栅的单元因子

一维光栅的基本单元就是宽度为 a ，长度为 b 的狭缝，其单元因子为：

$$\tilde{u}_0 = \tilde{c} e^{ik_0 L_0} \cdot \frac{\sin \alpha}{\alpha}$$

一维光栅的结构因子

自上而下将 N 个单元依次编号为 $1, 2, \dots, N$ 。对于一位光栅，单元的位移仅沿 x 方向，相邻单元之间的位移量恒为 d ，相应的夫琅禾费场的相移量依次为 $\delta = kd \sin \theta$ ，于是，一位光栅夫琅禾费衍射场的结构因子为：

$$\begin{aligned} \tilde{S}(\theta) &= \sum_{i=1}^N (1 + e^{i\delta} + e^{i(2\delta)} + e^{i(3\delta)} + \dots + e^{i(N-1)\delta}) \\ &= \frac{1 - e^{iN\delta}}{1 - e^{i\delta}}, \quad \delta = kd \sin \theta \end{aligned}$$

利用公式：

$$1 - e^{i\varphi} = -2i \sin\left(\frac{\varphi}{2}\right) \cdot e^{i(\frac{\varphi}{2})}$$

结构因子可进一步表达为：

$$\begin{aligned} \tilde{S}(\theta) &= \frac{1 - e^{iN\delta}}{1 - e^{i\delta}} \\ &= -2i \sin\left(\frac{N\delta}{2}\right) \cdot e^{i(\frac{N\delta}{2})} / -2i \sin\left(\frac{\delta}{2}\right) \cdot e^{i(\frac{\delta}{2})} \\ &= e^{i(N-1)\beta} \cdot \left(\frac{\sin N\beta}{\sin \beta} \right), \quad \beta = \frac{\pi d \sin \theta}{\lambda} \end{aligned}$$

于一维光栅的夫琅禾费场为：

$$\begin{aligned}\tilde{U}(\theta) &= \tilde{u}_0(\theta) \cdot \tilde{S}(\theta) \\ &= \tilde{c} e^{ik_0 L_0} \cdot \frac{\sin \alpha}{\alpha} \cdot e^{i(N-1)\beta} \cdot \left(\frac{\sin N\beta}{\sin \beta} \right)\end{aligned}$$

把 $e^{ik_0 L_0}$ 吸收到 \tilde{c} 中，得：

$$\tilde{U}(\theta) = \tilde{c} \left(\frac{\sin \alpha}{\alpha} \right) \cdot \left(\frac{\sin N\beta}{\sin \beta} \right) e^{i(N-1)\beta}$$

其中，

$$\alpha = \frac{\pi a \sin \theta}{\lambda}, \quad \beta = \frac{\pi d \sin \theta}{\lambda}$$

衍射强度分布为：

$$I(\theta) = \tilde{U} \tilde{U}^* = i_0 \left(\frac{\sin \alpha}{\alpha} \right)^2 \left(\frac{\sin N\beta}{\sin \beta} \right)^2$$

上式中， i_0 是单缝衍射零级中心即几何像点处的衍射光强， $(\sin \alpha / \alpha)^2$ 称为**强度单元因子**， $(\sin N\beta / \sin \beta)^2$ 称为**强度结构因子**。

一维光栅结构因子的主要特征

(1) 主峰（主极强位置）

$$\beta = j\pi \implies d \sin \theta_j = j\lambda, \quad j = 0, \pm 1, \pm 2, \dots$$

此时：

$$\begin{aligned}\left(\frac{\sin N\beta}{\sin \beta} \right)^2 &= N^2 \\ I(\theta_j) &= N^2 \cdot (\theta_j)\end{aligned}$$

(2) 主峰的半角宽度

第 j 级主峰，其左右相邻的两个暗点的位置满足：

$$d \sin(\theta_j \pm \Delta\theta) = \left(k \pm \frac{1}{N}\right)\lambda \implies d \cos \theta_j \cdot \Delta\theta = \frac{\lambda}{N}$$

第 j 级主峰的半角宽度：

$$\Delta\theta_j = \frac{\lambda}{Nd \cos \theta_j}$$

(3) 两个主峰之间

(4) 单元因子作用

$$d \sin \theta_j = j\lambda$$

$$a \sin \theta_{j'} = j'\lambda$$

$$\frac{j}{j'} = \frac{d}{a}$$

出现缺级现象

第5章 光的偏振

基本概念

光的宏观偏振态

光的宏观偏振态分为五种：线偏振光、自然光、部分偏振光、圆偏振光和椭圆偏振光

线偏振光

光矢量 $\vec{E}(t) = \vec{A} \cos \omega t$

分量表示为：

$$E_x = A_x \cos \omega t, \quad E_y = A_y \sin \omega t$$

若两个正交振动之间的相位差 $\delta = 0$ ，则线偏振于一、三象限；

若两个正交振动之间的相位差 $\delta = \pm \pi$ ，则线偏振于二、四象限

自然光

自然光是大量的、不同取向的、彼此无关的、无特殊优越取向的线偏振光的集合。

部分偏振光

部分偏振光与自然光的区别仅在于部分偏振光不具有轴对称性，存在一优越方向。

圆偏振光

圆偏振光的光矢量 $\vec{E}(t)$ 随时间仅改变方向而不改变大小，即光矢量端点的轨迹是一圆周。

圆偏振光可表示为：

$$\vec{E}(t) = E_x(t)\vec{e}_x + E_y(t)\vec{e}_y$$

其中，

$$E_x(t) = A \cos \omega t, \quad E_y(t) = A \cos(\omega t \pm \frac{\pi}{2})$$

当相位差 $\delta = \frac{\pi}{2}$ ，合成结果为右旋偏振光（顺时针）；

当相位差 $\delta = -\frac{\pi}{2}$ ，合成结果为左旋偏振光（逆时针）；

正椭圆偏振光

正椭圆偏振光与圆偏振光的区别在于，椭圆偏振光光矢量的两个正交振动分量的振幅不同。

$$\vec{E}(t) = E_x(t)\vec{e}_x + E_y(t)\vec{e}_y$$

其中，

$$E_x(t) = A_x \cos \omega t, \quad E_y(t) = A_y \cos(\omega t \pm \frac{\pi}{2}), \quad A_x \neq A_y$$

斜椭圆偏振光

斜椭圆偏振光与正椭圆偏振光的区别在于，斜椭圆偏振光两个正交振动的相位差 $\delta \neq \pm \frac{\pi}{2}$

$$\vec{E}(t) = E_x(t)\vec{e}_x + E_y(t)\vec{e}_y$$

其中，

$$E_x(t) = A_x \cos \omega t, \quad E_y(t) = A_y \cos(\omega t + \delta), \quad A_x \neq A_y, \quad \delta \neq \pm \frac{\pi}{2}$$

一条公式概括三种偏振光

设光矢量的两个正交振动为：

$$\begin{cases} E_x(t) = A_x \cos \omega t \\ E_y(t) = A_y \cos(\omega t \pm \delta) \end{cases}$$

当 $\delta = 0, \pi$ 时， \rightarrow 线偏振光

当 $\delta = \pm \frac{\pi}{2}, A_x = A_y$ 时， \rightarrow 圆偏振光

当 $\delta = \pm \frac{\pi}{2}, A_x \neq A_y$ ， \rightarrow 正椭圆偏振光

马吕斯定律

$$I_P(\alpha) = I_0 \cos^2 \alpha$$

其中， $I_0 = A_0^2$ 为入射光强， α 是入射线偏振光的偏振方向与偏振片透振方向的夹角， $I_p(\alpha)$ 是透射光强。

偏振度

偏振态	直接通过偏振片，旋转偏振片观察光强	先通过1/4波片，再通过偏振片，旋转偏振片观察光强
自然光	光强不变	光强不变
圆偏振光	圆偏振光	光强改变，出现消光
线偏振光	光强改变，出现消光	
部分偏振光	光强改变，不消光	光强改变，不消光
椭圆偏振光	光强改变，不消光	光强改变，出现消光

菲涅耳公式

菲涅尔公式成立条件

绝缘介质、各向同性介质、弱场或线性介质、光频段

菲涅尔公式

p 振动：平行入射面

s 振动：垂直入射面

$$\begin{aligned}\tilde{E}'_{1p} &= \frac{n_2 \cos i_1 - n_1 \cos i_2}{n_2 \cos i_1 + n_1 \cos i_2} \tilde{E}_{1p} = \frac{\tan(i_1 - i_2)}{\tan(i_1 + i_2)} \tilde{E}_{1p} \\ \tilde{E}_{2p} &= \frac{2n_1 \cos i_1}{n_2 \cos i_1 + n_1 \cos i_2} \tilde{E}_{1p} \\ \tilde{E}'_{1s} &= \frac{n_1 \cos i_1 - n_2 \cos i_2}{n_1 \cos i_1 + n_2 \cos i_2} \tilde{E}_{1s} = \frac{\sin(i_2 - i_1)}{\sin(i_2 + i_1)} \tilde{E}_{1s} \\ \tilde{E}_{2s} &= \frac{2n_1 \cos i_1}{n_1 \cos i_1 + n_2 \cos i_2} \tilde{E}_{1s} = \frac{2 \cos i_1 \sin i_2}{\sin(i_1 + i_2)} \tilde{E}_{1s}\end{aligned}$$

布儒斯特角

布儒斯特角：使 p 光的光强反射率 $R_p = 0$ 的特殊角入射 i_B 称为布儒斯特角。此时反射光只有 s 分量，是线偏振光。

$$\tan i_B = \frac{n_2}{n_1}$$

光在晶体中的传播

晶体的分类

若按光学性质分类，晶体可分为：

- (1) 单轴晶体：只有一个光轴方向
- (2) 双轴晶体：有两个光轴方向
- (3) 立方晶系：各向同性

双折射基本物理量

满足通常各向同性介质中折射定律的光称为**寻常光**，简称为 o 光。

不服从通常折射定律的光称为**非常光**，简称为 e 光。

若入射光为自然光，则两束透射光是线偏振光，且偏振方向不同。

光轴：晶体中存在一个特殊方向，光沿这个方向在晶体中传播时不发生双折射，此特殊方向称为晶体的**光轴**。

主截面：由晶体表面的法线 \vec{N}_s 和晶体内部的光轴 z 组成的平面称为晶体**主截面**

入射面：由入射光线方向 \vec{r}_1 和晶体表面法线 \vec{N}_s 组成的平面称为入射面

主平面：晶体中**光线**与**光轴**组成的平面称为**主平面**。

实验发现，当入射面与主截面重合时， e 光偏折仍在入射面内；当入射面与主截面不重合时， e 光射线就可能不在入射面内。

o 光和 e 光的判断方法

o 振动的光矢量 $\vec{E}_o(t) \perp$ 主平面 (\vec{r}, \vec{z}) ;

e 振动的光矢量 $\vec{E}_e(t) \parallel$ 主平面 (\vec{r}, \vec{z})

o 光和 e 光波面的传播性质

o 振动的传播具有各向同性， o 光波面为球面 $\Sigma_o(t)$ ，传播速度为 v_o ，与传播角度无关。

e 振动的传播具有各向异性， e 光波面为旋转椭球面，其转轴为光轴。

o 光和 e 光的波面相切于光轴

传播方向角：光在晶体中的传播方向与光轴的夹角，常记为 ξ

e 光波面传播速度 $v_e(\xi)$ 与方向角 ξ 有关：

$$v_e(\xi) = \begin{cases} v_o & , \text{当} \xi = 0 \\ v_e & , \text{当} \xi = \frac{\pi}{2} \end{cases}$$
$$n_o = \frac{c}{v_o}, \quad n_e = \frac{c}{v_e}$$

对于其他传播方向， e 光速度介于 v_o 和 v_e 之间，即 e 光的折射率介于 n_o 和 n_e 之间。

负晶体： $v_o \leq v_e(\xi) \leq v_e, \quad n_e \leq n_e(\xi) \leq n_o$

正晶体： $v_e \leq v_e(\xi) \leq v_o, \quad n_o \leq n_e(\xi) \leq n_e$

负晶体， e 光为快光， o 光为慢光

正晶体， e 光为慢光， o 光为快光

晶体中的惠更斯作图法

见教材

三个棱镜双折射作图

尼科尔棱镜、罗雄棱镜、沃拉斯顿棱镜和期末双折射那道题

波晶片

波晶片：厚度均匀且光轴平行入射表面的薄片，用于产生和检验圆偏振光或椭圆偏振光

设一束平行光正入射，表观上不出现双折射，但两个特征振动 $\vec{E}_o(t)$ 和 $\vec{E}_e(t)$ 的传播速度分别为 v_o 和 v_e ，相应的折射率分别为 n_o 和 n_e 。虽然两者通过的路程相等，但光程却不等， $\vec{E}_o(t)$ 与 $\vec{E}_e(t)$ 之间将产生一附加相位差 δ'

若入射的是一束偏振光，其真空中的波长为 λ_0 ，设在波晶片入射点 A 处 $\vec{E}_o(t), \vec{E}_e(t)$ 的相位分别为 $\varphi_o(A)$ 和 $\varphi_e(A)$ ，而到达出射点 B 处这两个正交振动的相位为：

$$\varphi_o(B) = \varphi_o(A) - \frac{2\pi}{\lambda_0} n_o d$$
$$\varphi_e(B) = \varphi_e(A) - \frac{2\pi}{\lambda_0} n_e d$$

这两个正交振动在波晶片出射点 B 处的相位差为：

$$\varphi_o(B) - \varphi_e(B) = \varphi_o(A) - \varphi_e(A) + \frac{2\pi}{\lambda_0}(n_e - n_o)d$$

简写为：

$$\delta_{oe}(B) = \delta_{oe}(A) + \delta'_{oe}$$

其中, $\delta'_{oe} = \frac{2\pi}{\lambda_0}(n_e - n_o)d$

(1) 四分之一波晶片

$$\delta'_{oe} = \pm(2k + 1)\frac{\pi}{2}, \quad k = 0, 1, 2, \dots$$

对于正晶体制成的 $\frac{\lambda}{4}$ 片, 因为 $n_e > n_o$, 故有：

$$\delta'_{oe} = \frac{1}{2}\pi, \frac{3}{2}\pi, \frac{5}{2}\pi, \dots$$

对于负晶体制成的 $\frac{\lambda}{4}$ 片, 因为 $n_e < n_o$, 故有：

$$\delta'_{oe} = -\frac{1}{2}\pi, -\frac{3}{2}\pi, -\frac{5}{2}\pi, \dots$$

$\frac{\lambda}{4}$ 片所提供的有效相位差为：

$$\delta'_{oe} = \pm\frac{\pi}{2}$$

$\frac{\lambda}{4}$ 片的厚度应该满足以下条件：

$$d = (2k + 1)\frac{\lambda_0}{4\Delta n}$$

其中, $\Delta n = |n_e - n_o|$

其厚度最小值为：

$$d_m = \frac{\lambda_0}{4\Delta n}$$

(2) 二分之一波晶片

产生的附加相位差满足：

$$\delta'_{oe} = \pm(2k + 1)\pi$$

有效相位差为：

$$\delta'_{oe} = \pi$$

对正负晶体均为此值

$\frac{\lambda}{2}$ 片的厚度 d 满足：

$$d = (2k + 1)\frac{\lambda_0}{2\Delta n}$$

其中, $\Delta n = |n_e - n_o|$

厚度最小值为：

$$d_m = \frac{\lambda_0}{2\Delta n}$$

(3) 全波晶片 (λ 片)：

附加相位差满足：

$$\delta'_{oe} = \pm 2k\pi, \quad k = 1, 2, 3, \dots$$

厚度满足：

$$d = k \frac{\lambda_0}{\Delta n}$$

其中, $\Delta n = |n_e - n_o|$

厚度最小值为：

$$d_m = \frac{\lambda_0}{\Delta n}$$

通过波晶片后的偏振态分析程序

- (1) 以波晶片光轴方向为基准，在光束的横平面上取定坐标架 (xy) ， x 轴表示 e 振动而 y 轴表示 o 振动
- (2) 以此坐标架为参考，确定光束在晶片入射点的相位差 $\delta_{oe}(A)$ ，并根据波晶片的种类确定附加相位差 $\delta'_{oe} = \frac{2\pi}{\lambda_0}(n_e - n_o)d$
- (3) 根据 $\delta_{oe}(B) = \delta_{oe}(A) + \delta'_{oe}$ 计算出光在波晶片出射点的相位差 $\delta_{oe}(B)$ ，再借助解析几何知识判定出射光的偏振态

线偏振光入射于 $\frac{\lambda}{4}$ 片时，其出射光一般为正椭圆偏振光

当入射光的线偏振方位与 $\frac{\lambda}{4}$ 片光轴的夹角为 $\frac{\pi}{4}$ 时，出射光为圆偏振光，因为此时两个正交振动的振幅相等。

当入射光的线偏振方位平行或垂直波晶片光轴时，出射光依然为线偏振光且偏振方向不变，这时波晶片提。供的附加相位差不起作用，因为两个正交振动之一的振幅为零

第6章 吸收、色散和散射

介质对光的吸收：光的强度随传播距离而减少的现象

光的散射：介质的不均匀性将导致光的散射

色散：介质中光速与光频或光波长有关

吸收

色散

散射